



(12)

BẢN MÔ TẢ SÁNG CHẾ THUỘC BẰNG ĐỘC QUYỀN SÁNG CHẾ

(19)

CỘNG HÒA XÃ HỘI CHỦ NGHĨA VIỆT NAM (VN)  
CỤC SỞ HỮU TRÍ TUỆ

(11)



1-0023430

(51)<sup>7</sup>

C12N 15/09; C12N 9/42; C12N 1/19

(13) B

(21) 1-2014-02208

(22) 07/07/2014

(30) 2013-143258 09/07/2013 JP

(45) 27/04/2020 385

(43) 26/01/2015 322A

(73) HONDA MOTOR CO., LTD. (JP)

1-1, Minami-Aoyama 2-chome, Minato-ku, Tokyo 107-8556, Japan

(72) Maiko TANAKA (JP); Shigenobu MITSUZAWA (JP); Satoru SHINKAWA (JP);

Daisuke SHIBATA (JP); Takeshi ARA (JP); Migiwa TAKEDA (JP)

(74) Công ty Luật TNHH Phạm và Liên danh (PHAM &amp; ASSOCIATES)

(54) ENZYME BETA-GLUCOSIDAZA, VECTO BIỂU HIỆN ENZYM NÀY, THÊ BIẾN NẠP CHÚA VECTO NÀY VÀ PHƯƠNG PHÁP SẢN XUẤT SẢN PHẨM PHÂN GIẢI XENLULOZA BẰNG ENZYM NÀY

(57) Sáng chế đề cập đến enzym β-glucosidaza chứa miền xúc tác của β-glucosidaza bao gồm polypeptit chứa trình tự axit amin như nêu trong SEQ ID NO.1. Sáng chế cũng đề cập đến polynucleotit mã hóa β-glucosidaza này, vecto biểu hiện β-glucosidaza này, thể biến nạp chứa vecto biểu hiện này, phương pháp sản xuất enzym β-glucosidaza này, hỗn hợp xenlulaza chứa enzym này và phương pháp sản xuất sản phẩm phân giải xenluloza bằng β-glucosidaza này.

Gen chủ thí (kDa)

250

BGL →

150

100

## Lĩnh vực kỹ thuật được đề cập

Sáng chế đề cập đến enzym  $\beta$ -glucosidaza thu được từ nấm sợi *Acremonium cellulolyticus*. Cụ thể hơn, sáng chế đề cập đến  $\beta$ -glucosidaza thế hệ mới, polynucleotit mã hóa  $\beta$ -glucosidaza này, vectơ biểu hiện  $\beta$ -glucosidaza này, thể biến nạp chứa vectơ biểu hiện này, và phương pháp sản xuất sản phẩm phân giải xenluloza bằng  $\beta$ -glucosidaza này.

## Tình trạng kỹ thuật của sáng chế

Gần đây, việc phát triển các nguồn năng lượng thay thế dầu mỏ là vấn đề rất quan trọng, do các quan ngại liên quan đến việc cung cấp năng lượng cho các thiết bị vận tải, như sự tăng giá dầu và nguy cơ cạn kiệt dầu khí trong tương lai gần, cũng như các vấn đề về môi trường như trái đất nóng lên và ô nhiễm bầu khí quyển. Sinh khối thực vật hoặc lignoxenluloza, là nguồn năng lượng tái tạo phong phú nhất trên trái đất, được mong đợi là nguồn năng lượng thay thế cho dầu mỏ. Các thành phần chính trong phần khô của sinh khối này bao gồm các polysacarit như xenluloza, hemixenluloza, và lignin. Ví dụ, các polysacarit được sử dụng làm nhiên liệu sinh học hoặc nguyên liệu hóa học thô, sau khi được thủy phân thành các monosacarit như glucoza hoặc xyloza bởi các glycosit hydrolyzaza có tên chung là các enzym xenlulaza.

Do đó, trong lĩnh vực năng lượng sinh học, rất cần phát triển nhiều enzym xenlulaza có hoạt tính mạnh để thực hiện một cách hiệu quả quá trình thủy phân enzym sinh khối chứa xenluloza.

Lignoxenluloza là hợp chất có cấu trúc rất phức tạp, nên rất khó có thể phân giải được bằng một enzym phân giải xenluloza duy nhất. Quá trình phân giải lignoxenluloza thành đường cần ít nhất ba loại enzym: endoglucanaza (xenlulaza hoặc endo-1,4- $\beta$ -D-glucanaza, mã số EC 3.2.1.4) phân cắt một cách ngẫu nhiên ở các vị trí bên trong mạch xenluloza, xenlobiohydrolaza (1,4- $\beta$ -xenlobiosidaza hoặc xenlobiohydrolaza, mã số EC 3.2.1.91) đóng vai trò như một exo-xenlulaza phân cắt ở các đầu khử hoặc các

đầu không khử của mạch xenluloza và giải phóng sản phẩm chính xenlobioza, và  $\beta$ -glucosidaza (mã số EC 3.2.121) thủy phân xenlobioza thành glucoza. Ngoài ra, cần có hỗn hợp thích hợp chứa nhiều enzym bao gồm xylanaza (endo-1,4- $\beta$ -xylanaza, mã số EC 3.2.1.8) là hemixenlulaza và các enzym phân giải thành tế bào thực vật khác.

Hiện nay, đã phân lập được chủng nấm sợi *Acremonium cellulolyticus* sản sinh xenlulaza thủy phân có hoạt lực cao, và hai gen mã hóa xenlobiohydrolaza, 3 gen mã hóa  $\beta$ -glucosidaza và 7 gen mã hóa endoglucanaza (xem, Tài liệu Patent 1). Endoglucanaza là một trong số các glycosit hydrolaza tham gia vào quá trình sản sinh monosacarit bằng cách phân cắt ngẫu nhiên và phân giải xenluloza hoặc lignoxenluloza như hemixenluloza.

#### Tài liệu viện dẫn

Tài liệu Patent 1: Đơn Công bố Patent chưa thẩm định Nhật Bản, số 2010-148427

#### Bản chất kỹ thuật của sáng chế

Mục đích của sáng chế là đề cập đến enzym  $\beta$ -glucosidaza thu được từ nấm sợi *Acremonium cellulolyticus*, polynucleotit mã hóa  $\beta$ -glucosidaza này, vectơ biểu hiện  $\beta$ -glucosidaza này, thể biến nạp chứa vectơ biểu hiện này, và phương pháp sản xuất sản phẩm phân giải xenluloza bằng  $\beta$ -glucosidaza này.

Từ kết quả nghiên cứu phát triển enzym xenlulaza thế hệ mới có hoạt tính mạnh, các tác giả sáng chế đã phân lập và xác định được gen mã hóa xenlulaza thế hệ mới từ nấm sợi *Acremonium cellulolyticus*, nhờ đó thực hiện được sáng chế này. Cụ thể, sáng chế đề cập đến các phương án sau:

1. Enzym  $\beta$ -glucosidaza chứa miền xúc tác của  $\beta$ -glucosidaza bao gồm: (A) polypeptit chứa trình tự axit amin như nêu trong SEQ ID NO.1; (B) polypeptit có hoạt tính  $\beta$ -glucosidaza có trình tự axit amin thu được bằng cách loại bỏ, thay thế hoặc bổ sung một hoặc nhiều axit amin trên trình tự axit amin như nêu trong SEQ ID NO.1; hoặc (C) polypeptit có trình tự axit amin có độ tương đồng với trình tự axit amin như nêu trong SEQ ID NO.1 bằng 92% hoặc cao hơn, và có hoạt tính  $\beta$ -glucosidaza.

Cụ thể, sáng chế đề cập đến enzym  $\beta$ -glucosidaza chứa miền xúc tác của  $\beta$ -glucosidaza bao gồm polypeptit chứa trình tự axit amin như nêu trong SEQ ID NO.1.

2. Enzym  $\beta$ -glucosidaza theo phương án 1, trong đó enzym này có hoạt tính

$\beta$ -glucosidaza ở độ pH nằm trong khoảng từ 3,0 đến 5,5 và nhiệt độ nằm trong khoảng từ 30°C đến 60°C và sử dụng cơ chất là p-nitrophenyl  $\beta$ -D-glucopyranosit.

3. Polynucleotit chứa vùng mã hóa miền xúc tác của  $\beta$ -glucosidaza bao gồm: (a) trình tự bazơ mã hóa polypeptit chứa trình tự axit amin như nêu trong SEQ ID NO.1; (b) trình tự bazơ mã hóa polypeptit có trình tự axit amin thu được bằng cách loại bỏ, thay thế hoặc bổ sung một hoặc nhiều axit amin trên trình tự axit amin như nêu trong SEQ ID NO.1, và có hoạt tính  $\beta$ -glucosidaza; (c) trình tự bazơ mã hóa polypeptit có trình tự axit amin có độ tương đồng với trình tự axit amin như nêu trong SEQ ID NO.1 bằng 92% hoặc cao hơn, và có hoạt tính  $\beta$ -glucosidaza; hoặc (d) trình tự bazơ chứa polynucleotit lai hóa với polynucleotit có trình tự bazơ như nêu trong SEQ ID NO.2 ở điều kiện nghiêm ngặt, và mã hóa polypeptit có hoạt tính  $\beta$ -glucosidaza.

Cụ thể, sáng chế đề cập đến polynucleotit chứa vùng mã hóa miền xúc tác của  $\beta$ -glucosidaza chứa trình tự bazơ mã hóa polypeptit chứa trình tự axit amin như nêu trong SEQ ID NO.1.

4. Vector biểu hiện, trong đó vector này chứa polynucleotit theo phương án 3, và có khả năng biểu hiện polypeptit có hoạt tính  $\beta$ -glucosidaza ở tế bào vật chủ.

5. Thể biến nạp, trong đó thể biến nạp này chứa vector biểu hiện theo phương án 4.

6. Thể biến nạp theo phương án 5, trong đó thể biến nạp này là sinh vật nhân thật.

7. Thể biến nạp theo phương án 5, trong đó thể biến nạp này là nấm sợi.

8. Phương pháp sản xuất enzym  $\beta$ -glucosidaza bao gồm bước tạo ra polypeptit có hoạt tính  $\beta$ -glucosidaza trong thể biến nạp theo phương án bất kỳ trong số các điểm từ 5 đến 7.

9. Hỗn hợp xenlulaza chứa enzym  $\beta$ -glucosidaza theo phương án 1 hoặc 2 hoặc enzym  $\beta$ -glucosidaza thu được bằng phương pháp theo phương án 8, và ít nhất một loại xenlulaza khác.

Cụ thể, sáng chế đề cập đến hỗn hợp xenlulaza chứa enzym  $\beta$ -glucosidaza theo sáng chế.

10. Phương pháp sản xuất sản phẩm phân giải xenluloza bao gồm bước tạo ra sản phẩm phân giải xenluloza bằng cách cho nguyên liệu chứa xenluloza tiếp xúc với enzym

$\beta$ -glucosidaza theo phương án 1 hoặc 2 hoặc enzym  $\beta$ -glucosidaza thu được bằng phương pháp theo phương án 8.

Cụ thể, sáng chế đề cập đến phương pháp sản xuất sản phẩm phân giải xenluloza bao gồm bước tạo ra sản phẩm phân giải xenluloza bằng cách cho nguyên liệu chứa xenluloza tiếp xúc với hỗn hợp xenlulaza theo sáng chế.

11. Phương pháp theo phương án 10, trong đó phương pháp này còn bao gồm bước cho nguyên liệu chứa xenluloza tiếp xúc với ít nhất một loại xenlulaza khác.

12. Phương pháp theo phương án 10, trong đó phương pháp này còn bao gồm bước cho nguyên liệu chứa xenluloza tiếp xúc với xenlobiohydrolaza chứa trình tự axit amin như nêu trong SEQ ID NO.12 và endoglucanaza chứa trình tự axit amin như nêu trong SEQ ID NO.13.

13. Phương pháp theo phương án 10, trong đó phương pháp này còn bao gồm bước cho nguyên liệu chứa xenluloza tiếp xúc với xenlobiohydrolaza chứa trình tự axit amin như nêu trong SEQ ID NO.12, endoglucanaza chứa trình tự axit amin như nêu trong SEQ ID NO.13, và ít nhất một loại hemixenlulaza.

Enzym  $\beta$ -glucosidaza theo sáng chế là  $\beta$ -glucosidaza thế hệ mới thu được từ nấm sợi *Acremonium cellulolyticus*. Do enzym này có hoạt tính hydrolaza đối với xenluloza, nên nó đặc biệt hữu dụng để dùng trong xử lý thủy phân sinh khối chứa xenluloza.

Ngoài ra, polynucleotit, vectơ biểu hiện chứa polynucleotit này, và thế biến nạp chứa vectơ biểu hiện theo sáng chế là hữu dụng để sản xuất enzym  $\beta$ -glucosidaza theo sáng chế.

### Mô tả văn tắt các hình vẽ

Fig.1 thể hiện kết quả phân tích điện di trên gel SDS-PAGE của mẫu enzym  $\beta$ -glucosidaza (BGL) được mô tả ở Ví dụ 1.

Fig.2 thể hiện sắc ký đồ HPLC của dịch thủy phân thu được từ quá trình xử lý thân và lá cây ngô sau thu hoạch bằng chế phẩm enzym được mô tả ở ví dụ 1 với các phân đoạn thu được ở thời gian lưu nằm trong khoảng từ 10 phút đến 16 phút.

Fig.3 thể hiện sắc ký đồ HPLC của dung dịch phản ứng trước và sau khi thực hiện phản ứng enzym BGL được mô tả ở ví dụ 1 bằng cách sử dụng cơ chất là xenlobioza

với các phân đoạn thu được ở thời gian lưu nằm trong khoảng từ 9 phút đến 15 phút.

Fig.4 thể hiện sắc ký đồ HPLC của dung dịch phản ứng trước và sau khi thực hiện phản ứng enzym BGL được mô tả ở ví dụ 1 bằng cách sử dụng cơ chất là xylobioza với các phân đoạn thu được ở thời gian lưu nằm trong khoảng từ 9 phút đến 15 phút.

### Mô tả chi tiết sáng chế

#### Enzym $\beta$ -glucosidaza theo sáng chế

Các tác giả sáng chế đã phân lập và xác định được gen mã hóa  $\beta$ -glucosidaza thế hệ mới từ ANDbs (ADN bổ sung) được tổng hợp bằng phản ứng phiên mã ngược với khuôn là ARNtt (ARN thông tin) phân lập được từ nấm sợi *Acremonium cellulolyticus*, gen này được viết tắt là gen *BGL*, và  $\beta$ -glucosidaza được mã hóa bằng gen này được viết tắt là enzym *BGL*. Trình tự axit amin của *BGL* được thể hiện trong SEQ ID NO.1, và trình tự bazơ mã hóa *BGL* (trình tự bazơ của vùng mang mã di truyền của gen *BGL*) được thể hiện trong SEQ ID NO.2.

Nhìn chung, ở protein có một số hoạt tính sinh học, thì một hoặc hai hoặc nhiều axit amin có thể được loại bỏ, thay thế, hoặc bổ sung mà không làm giảm hoạt tính sinh học của protein này. Theo đó, ở *BGL* một hoặc hai hoặc nhiều axit amin cũng có thể được loại bỏ, thay thế, hoặc bổ sung mà không làm giảm hoạt tính của  $\beta$ -glucosidaza.

Theo khía cạnh thứ nhất, sáng chế đề cập đến enzym  $\beta$ -glucosidaza chứa miền xúc tác của  $\beta$ -glucosidaza bao gồm một trong số các polypeptit từ (A) đến (C) được chỉ ra dưới đây:

(A) polypeptit chứa trình tự axit amin như nêu trong SEQ ID NO.1;

(B) polypeptit có trình tự axit amin thu được bằng cách loại bỏ, thay thế hoặc bổ sung một hoặc nhiều axit amin trên trình tự axit amin như nêu trong SEQ ID NO.1, và có hoạt tính  $\beta$ -glucosidaza; hoặc

(C) polypeptit có trình tự axit amin có độ tương đồng với trình tự axit amin như nêu trong SEQ ID NO.1 bằng 92% hoặc cao hơn, và có hoạt tính  $\beta$ -glucosidaza.

Thuật ngữ “loại bỏ axit amin trên polypeptit” được dùng trong bản mô tả này để chỉ sự loại bỏ (hoặc xóa bỏ) đoạn axit amin chứa polypeptit.

Thuật ngữ “thay thế axit amin trên polypeptit” được dùng trong bản mô tả này để chỉ sự thay thế axit amin chúa polypeptit bằng một axit amin khác.

Thuật ngữ “bổ sung axit amin trên polypeptit” được dùng trong bản mô tả này để chỉ sự chèn axit amin mới vào polypeptit.

Tốt hơn nếu, trong polypeptit ở mục (B) số lượng axit amin được loại bỏ, thay thế hoặc bổ sung trên trình tự axit amin như nêu trong SEQ ID NO.1 nằm trong khoảng từ 1 đến 20, tốt hơn nữa nếu nằm trong khoảng từ 1 đến 10 và còn tốt hơn nữa nếu nằm trong khoảng từ 1 đến 5. Không có giới hạn cụ thể về vị trí của các axit amin được loại bỏ, thay thế, hoặc bổ sung trên mỗi trình tự axit amin miễn là polypeptit này chứa trình tự axit amin trong đó các axit amin đã được loại bỏ, thay thế, hoặc bổ sung vẫn duy trì được hoạt tính  $\beta$ -glucosidaza.

Không có giới hạn cụ thể về độ tương đồng của polypeptit ở mục (C) với trình tự axit amin như nêu trong SEQ ID NO.1 miễn là polypeptit này có độ tương đồng với trình tự như nêu trong SEQ ID NO.1 bằng 92% hoặc cao hơn và nhỏ hơn 100%, tốt hơn nếu bằng 95% hoặc cao hơn và nhỏ hơn 100%, và tốt hơn nữa nếu bằng 98% hoặc cao hơn và nhỏ hơn 100%.

Độ tương đồng trình tự (độ tương đồng) giữa hai trình tự axit amin được xác định như sau: hai trình tự axit amin này được đặt cạnh nhau với các khoảng trống ở một số vị trí tính toán để chèn và loại bỏ sao cho số lượng các axit amin giống nhau lớn nhất có thể trùng khớp, và độ tương đồng trình tự được tính là tỷ lệ phần trăm của các axit amin trùng khớp so với toàn bộ các trình tự axit amin, không bao gồm các khoảng trống, theo cách sắp xếp thu được. Độ tương đồng trình tự giữa các trình tự axit amin có thể được xác định bằng các phần mềm tra cứu độ tương đồng đã biết trong lĩnh vực này. Độ tương đồng của các trình tự axit amin theo sáng chế được xác định dựa trên sự sắp xếp thu được từ chức năng trùng khớp tối đa của phần mềm trang cứu độ tương đồng, Genetyx Ver. 11.0.

Các polypeptit ở mục (B) và (C) có thể được thiết kế nhân tạo, hoặc cũng có thể là thể tương đồng của *BGL*, hoặc đoạn protein của nó.

Các polypeptit ở các mục từ (A) đến (C) có thể được tổng hợp tương ứng bằng phương pháp hóa học dựa trên trình tự axit amin này, hoặc cũng có thể được tổng hợp

bằng hệ thống biểu hiện protein bằng cách sử dụng polynucleotit theo khía cạnh thứ hai của sáng chế được mô tả dưới đây. Ngoài ra, các polypeptit ở mục (B) và (C) cũng có thể được tổng hợp nhân tạo dựa trên polypeptit chứa trình tự axit amin như nêu trong SEQ ID NO.1, bằng cách sử dụng kỹ thuật tái tổ hợp gen để chèn các đột biến axit amin vào.

Cơ chất của enzym  $\beta$ -glucosidaza theo sáng chế là glucan chứa liên kết  $\beta$ -glycosit. Ví dụ về cơ chất của  $\beta$ -glucosidaza theo sáng chế bao gồm xenluloza tinh thể, carboxymetyl xenluloza (CMC), glucan chứa liên kết  $\beta$ -1,4 glycosit như xenlobioza, glucan chứa liên kết  $\beta$ -1,3 glycosit và liên kết  $\beta$ -1,4 glycosit, và glucan chứa liên kết  $\beta$ -1,6 glycosit như gentiobioza.

Enzym  $\beta$ -glucosidaza theo sáng chế có hoạt tính  $\beta$ -glucosidaza ở nhiệt độ nằm trong khoảng  $30^{\circ}\text{C}$  đến  $60^{\circ}\text{C}$ . Tốt hơn nữa, enzym này có hoạt tính  $\beta$ -glucosidaza ở nhiệt độ nằm trong khoảng từ  $20^{\circ}\text{C}$  đến  $60^{\circ}\text{C}$ , tốt hơn nữa nếu enzym này có hoạt tính  $\beta$ -glucosidaza ở nhiệt độ nằm trong khoảng từ  $20^{\circ}\text{C}$  đến  $70^{\circ}\text{C}$ , và còn tốt hơn nữa nếu enzym này có hoạt tính  $\beta$ -glucosidaza ở nhiệt độ nằm trong khoảng từ  $20^{\circ}\text{C}$  đến  $80^{\circ}\text{C}$ . Tốt hơn nữa  $\beta$ -glucosidaza theo sáng chế có hoạt tính  $\beta$ -glucosidaza ở nhiệt độ tối ưu nằm trong khoảng từ  $25^{\circ}\text{C}$  đến  $55^{\circ}\text{C}$ , tốt hơn nữa nếu ở nhiệt độ tối ưu nằm trong khoảng từ  $35^{\circ}\text{C}$  đến  $55^{\circ}\text{C}$ , còn tốt hơn nữa nếu ở nhiệt độ tối ưu nằm trong khoảng từ  $40^{\circ}\text{C}$  đến  $50^{\circ}\text{C}$ .

Thuật ngữ “hoạt tính của  $\beta$ -glucosidaza” được dùng trong bản mô tả này để chỉ hoạt tính mà sử dụng cơ chất là glucan chứa liên kết  $\beta$ -glycosit và tạo ra monosacarit bằng cách thủy phân cơ chất này.

Mặc dù thay đổi phụ thuộc vào nhiệt độ phản ứng, nhưng độ pH tối ưu của  $\beta$ -glucosidaza theo sáng chế nằm trong khoảng từ 2,0 đến 6,0, tốt hơn nữa nằm trong khoảng từ 2,5 đến 5,5, tốt hơn nữa nếu nằm trong khoảng từ 2,8 đến 5,5. Tốt hơn nữa,  $\beta$ -glucosidaza theo sáng chế có hoạt tính  $\beta$ -glucosidaza ở độ pH ít nhất nằm trong khoảng từ 3,0 đến 5,5, tốt hơn nữa ở độ pH nằm trong khoảng từ 2,8 đến 6,0, và tốt hơn nữa nếu ở độ pH nằm trong khoảng từ 2,0 đến 6,0.

Ngoài ra, enzym  $\beta$ -glucosidaza theo sáng chế còn có hoạt tính  $\beta$ -glucosidaza trong môi trường axit. Ví dụ, khi sử dụng cơ chất là PNPG (p-nitrophenyl  $\beta$ -D-glucopyranosit),

thì hoạt tính  $\beta$ -glucosidaza của  $\beta$ -glucosidaza theo sáng chế trong môi trường có độ pH = 3,0 mạnh hơn trong môi trường có độ pH = 5,5. Ví dụ, khi sử dụng cơ chất là PNPG (p-nitrophenyl  $\beta$ -D-glucopyranosit), thì đã kiểm chứng được  $\beta$ -glucosidaza theo sáng chế có hoạt tính mạnh trong môi trường axit có độ pH nằm trong khoảng từ 3,0 đến 5,5. Tốt hơn nếu, enzym  $\beta$ -glucosidaza theo sáng chế có hoạt tính phân giải PNPG ở độ pH nằm trong khoảng từ 3,0 đến 5,5 và nhiệt độ 30°C, tốt hơn nếu ở độ pH nằm trong khoảng từ 3,0 đến 5,5 và nhiệt độ nằm trong khoảng từ 30°C đến 60°C, và còn tốt hơn nữa nếu ở độ pH nằm trong khoảng từ pH 3,0 đến 5,5 và nhiệt độ nằm trong khoảng từ 30°C đến 75°C.

Enzym  $\beta$ -glucosidaza theo sáng chế cũng có thể có hoạt tính thủy phân xenluloza khác với hoạt tính  $\beta$ -glucosidaza. Ví dụ về các hoạt tính thủy phân xenluloza khác của  $\beta$ -glucosidaza theo sáng chế bao gồm hoạt tính của xenlobiohydrolaza, hoạt tính endoglucanaza và hoạt tính xylanaza.

Enzym  $\beta$ -glucosidaza theo sáng chế có thể chỉ chứa miền xúc tác của  $\beta$ -glucosidaza bao gồm một polypeptit bất kỳ trong số các polypeptit ở các mục từ (A) đến (C) nêu trên, hoặc cũng có thể chứa các vùng khác. Ví dụ về các vùng khác này bao gồm các vùng khác với miền xúc tác đã biết của  $\beta$ -glucosidaza. Ví dụ,  $\beta$ -glucosidaza theo sáng chế cũng thu được bằng cách thay thế miền xúc tác đã biết của bằng polypeptit ở các mục từ (A) đến (C) nêu trên.

Enzym  $\beta$ -glucosidaza theo sáng chế cũng có thể chứa peptit tín hiệu có khả năng vận chuyển nó đến vùng đặc hiệu để khu trú ở bên trong tế bào, hoặc peptit tín hiệu để bài tiết ra ngoài tế bào, ví dụ, ở đầu tận cùng N hoặc đầu tận cùng C của nó. Ví dụ về các peptit tín hiệu này bao gồm peptit tín hiệu mạng lưới nội chất, peptit tín hiệu vận chuyển nhân và peptit tín hiệu bài tiết. Việc bổ sung peptit tín hiệu vào đầu tận cùng N hoặc đầu tận cùng C của  $\beta$ -glucosidaza nêu trên cho phép nó được biểu hiện ở thể biến nạp để được bài tiết ở bên ngoài tế bào hoặc nằm trong mạng lưới nội chất hoặc các vị trí khác trong tế bào.

Không có giới hạn cụ thể về peptit tín hiệu mạng lưới nội chất miễn là peptit này có khả năng giữ polypeptit bên trong mạng lưới nội chất, và peptit tín hiệu mạng lưới nội chất đã biết có thể được sử dụng thích hợp. Ví dụ về peptit tín hiệu mạng lưới nội chất bao gồm peptit tín hiệu chứa trình tự axit amin HDEL, hoặc các peptit tương tự.

Ngoài ra, các trình tự đánh dấu khác nhau có thể được bổ sung vào đầu tận cùng N hoặc đầu tận cùng C của  $\beta$ -glucosidaza theo sáng chế, để có thể tinh chế dễ dàng và thuận tiện sau khi sản xuất enzym này bằng hệ thống biểu hiện. Ví dụ về các trình tự đánh dấu bao gồm các trình tự thường được sử dụng để biểu hiện hoặc tinh chế protein tái tổ hợp, như trình tự đánh dấu His, trình tự đánh dấu HA (hemagglutinin), trình tự đánh dấu Myc hoặc trình tự đánh dấu Flag.

Ngoài ra,  $\beta$ -glucosidaza theo sáng chế cũng có thể chứa các vùng chức năng khác miễn là hoạt tính  $\beta$ -glucosidaza thu được từ các polypeptit ở các mục từ (A) đến (C) nêu trên không bị suy giảm. Ví dụ về các vùng chức năng khác bao gồm vùng gắn kết xenluloza. Ví dụ về vùng gắn kết xenluloza bao gồm vùng gắn kết xenluloza được giữ bởi protein đã biết hoặc vùng gắn kết xenluloza đã được cải biến thích hợp.

Khi  $\beta$ -glucosidaza theo sáng chế chứa vùng chức năng khác với miền xúc tác của  $\beta$ -glucosidaza, vùng này có thể nằm ở phía trước (đầu tận cùng N) hoặc ở phía sau (đầu tận cùng C) so với miền xúc tác của  $\beta$ -glucosidaza. Ngoài ra, vùng chức năng khác và miền xúc tác của  $\beta$ -glucosidaza có thể được liên kết trực tiếp hoặc thông qua mối liên kết có chiều dài thích hợp.

#### Polynucleotit mã hóa $\beta$ -glucosidaza theo sáng chế

Theo khía cạnh thứ hai, sáng chế đề cập đến polynucleotit mã hóa  $\beta$ -glucosidaza theo khía cạnh thứ nhất. Enzym  $\beta$ -glucosidaza này có thể được tạo ra bằng hệ thống biểu hiện là vật chủ được chèn vectơ biểu hiện chứa polynucleotit này.

Cụ thể hơn, sáng chế đề cập đến polynucleotit chứa vùng mã hóa miền xúc tác của  $\beta$ -glucosidaza bao gồm một trình tự bazơ bất kỳ trong số các trình tự bazơ từ (a) đến (d) sau:

(a) trình tự bazơ mã hóa polypeptit chứa trình tự axit amin như nêu trong SEQ ID NO.1;

(b) trình tự bazơ mã hóa polypeptit có trình tự axit amin thu được bằng cách loại bỏ, thay thế hoặc bổ sung một hoặc nhiều axit amin trên trình tự axit amin như nêu trong SEQ ID NO.1, và có hoạt tính  $\beta$ -glucosidaza;

(c) trình tự bazơ mã hóa polypeptit có trình tự axit amin có độ tương đồng với

trình tự axit amin như nêu trong SEQ ID NO.1 bằng 92% hoặc cao hơn, và có hoạt tính  $\beta$ -glucosidaza; hoặc

(d) trình tự bazơ chứa polynucleotit lai hóa với polynucleotit có trình bazơ như nêu trong SEQ ID NO.2 ở các điều kiện nghiêm ngặt, và mã hóa polypeptit có hoạt tính  $\beta$ -glucosidaza.

Độ tương đồng giữa hai trình tự bazơ được xác định như sau: hai trình tự bazơ này được đặt cạnh nhau với các khoảng trống ở một số vị trí tính toán để chèn và loại bỏ sao cho số lượng các bazơ giống nhau lớn nhất có thể trùng khớp, và độ tương đồng trình tự được tính là tỷ lệ phần trăm của các bazơ trùng khớp so với toàn bộ các trình tự bazơ, không bao gồm các khoảng trống, theo cách sắp xếp thu được. Độ tương đồng giữa các trình tự bazơ có thể được xác định bằng các phần mềm tra cứu độ tương đồng đã biết trong lĩnh vực này. Độ tương đồng giữa các trình tự bazơ theo sáng chế được xác định dựa trên sự sắp xếp thu được từ chức năng trùng khớp tối đa của phần mềm trang cứu độ tương đồng, Genetyx Ver. 11.0.

Thuật ngữ “các điều kiện nghiêm ngặt” được dùng trong bản mô tả để chỉ, ví dụ, phương pháp thử nghiệm được mô tả trong tài liệu: NATURE PROTOCOL (VOL. 1, No, 2, p. 518 to 525, công bố trực tuyến: 27/06/2006, doi:10.1038/nprot.2006.73). Ví dụ về các điều kiện này bao gồm các điều kiện để thực hiện quá trình lai hóa bằng cách nuôi cây trong vài giờ đến qua đêm ở nhiệt độ nằm trong khoảng từ 40°C đến 65°C trong dung dịch đệm lai hóa SSC 6× (Thành phần của dung dịch SSC 20×: natri clorua 3M, dung dịch axit xitric 0,3M), dung dịch Denhardt 5× (Thành phần của dung dịch Denhardt 100×: 2% khối lượng albumin huyết thanh bò, 2% khối lượng ficoll, 2% khối lượng polyvinylpyroliđon), dung dịch SDS0,5% khối lượng, và ADN tinh trùng cá hối 0,1mg/mL.

Độ tương đồng của trình tự bazơ theo mục (d) nêu trên với trình tự bazơ như nêu trong SEQ ID NO.2 bằng 88% hoặc cao hơn và nhỏ hơn 100%, tốt hơn nếu bằng 90% hoặc cao hơn và nhỏ hơn 100%, tốt hơn nữa nếu bằng 93% hoặc cao hơn và nhỏ hơn 100%, và còn tốt hơn nữa nếu bằng 95% hoặc cao hơn và nhỏ hơn 100%.

Trong các trình tự bazơ theo các mục từ (a) đến (d) nêu trên, tốt hơn nếu bộ ba phân giải có tần suất sử dụng cao ở vật chủ được chọn làm bộ ba phân giải. Ví dụ, trình

tự bazơ theo mục (a) nêu trên có thể là trình tự bazơ như nêu trong SEQ ID NO.2 hoặc trình tự bazơ đã được cải biến bằng bộ ba có tần suất sử dụng cao ở vật chủ không làm biến đổi trình tự axit amin được mã hóa (SEQ ID NO.1). Các bộ ba này có thể được biến đổi bằng kỹ thuật tái tổ hợp gen đã biết.

Polynucleotit có trình tự bazơ như nêu trong SEQ ID NO.2 có thể được tổng hợp hóa học dựa trên thông tin trình tự bazơ, hoặc có thể là vùng chứa miền xúc tác của  $\beta$ -glucosidaza trong gen *BGL* của nấm sợi *Acremonium cellulolyticus* từ tự nhiên được tổng hợp bằng kỹ thuật tái tổ hợp gen. Toàn bộ gen *BGL* hoặc vùng chứa miền xúc tác của  $\beta$ -glucosidaza trong gen *BGL* có thể được tổng hợp, ví dụ, bằng cách thu thập mẫu chứa *Acremonium cellulolyticus* từ tự nhiên, sử dụng khuôn là ADNbs được tổng hợp bằng phản ứng phiên mã ngược từ khuôn là ARNtt thu được từ mẫu nấm sợi nêu trên, và thực hiện phản ứng PCR bằng cách sử dụng mồi xuôi và mồi ngược được thiết kế theo các phương pháp đã biết dựa trên trình tự bazơ như nêu trong SEQ ID NO.2.

Ví dụ, các polynucleotit có các trình tự bazơ theo mục (b), (c) hoặc (d) nêu trên có thể được tổng hợp nhân tạo bằng cách loại bỏ, thay thế hoặc bổ sung một hoặc hai hoặc nhiều bazơ trong polynucleotit có trình tự bazơ như nêu trong SEQ ID NO.2.

Thuật ngữ “loại bỏ bazơ trên polynucleotit” được dùng trong bản mô tả để chỉ sự loại bỏ (hoặc xóa bỏ) đoạn nucleotit chứa polypeptide.

Thuật ngữ “thay thế bazơ trên polynucleotit” được dùng trong bản mô tả để chỉ sự thay thế bazơ chứa polynucleotit bằng một bazơ khác.

Thuật ngữ “bổ sung bazơ trên polynucleotit” được dùng trong bản mô tả để chỉ sự chèn bazơ mới vào polynucleotit.

Polynucleotit theo sáng chế có thể chỉ chứa vùng mã hóa miền xúc tác của  $\beta$ -glucosidaza, hoặc ngoài vùng mã hóa miền xúc tác của  $\beta$ -glucosidaza, polynucleotit theo sáng chế cũng có thể chứa vùng mã hóa một vùng chức năng khác như vùng gắn kết xenluloza, mối liên kết, các peptit tín hiệu, hoặc trình tự đánh dấu khác nhau.

#### Vectơ biểu hiện theo sáng chế

Theo khía cạnh thứ ba, sáng chế đề cập đến vectơ biểu hiện chứa polynucleotit theo khía cạnh thứ hai của sáng chế, và có khả năng biểu hiện polypeptit có hoạt tính

$\beta$ -glucosidaza ở tế bào vật chủ. Theo đó, vectơ biểu hiện này là vectơ trong đó polynucleotit theo sáng chế được kết hợp vào ở trạng thái có khả năng biểu hiện  $\beta$ -glucosidaza nêu trên.

Thuật ngữ “vectơ biểu hiện” được dùng trong bản mô tả để chỉ vectơ chứa ADN có vùng khởi đầu, ADN có trình tự để kết hợp ADN khác loài và ADN có vùng kết thúc bắt đầu từ đoạn trình tự nằm phía trước.

Cụ thể hơn, catxet biểu hiện chứa ADN có vùng khởi đầu, polynucleotit theo sáng chế, và ADN có vùng kết thúc cần để kết hợp vào vectơ biểu hiện này bắt đầu từ đoạn trình tự nằm phía sau. Polynucleotit theo sáng chế có thể được kết hợp vào vectơ biểu hiện này bằng các kỹ thuật tái tổ hợp gen đã biết. Kit tổng hợp vectơ biểu hiện có bán trên thị trường cũng có thể được sử dụng để kết hợp polynucleotit theo sáng chế vào vectơ biểu hiện này.

Vectơ biểu hiện này có thể được biến nạp vào sinh vật nhân sơ như *Escherichia coli* hoặc có thể được biến nạp vào sinh vật nhân thật như nấm men, nấm sợi, tế bào côn trùng đã nuôi cây, tế bào động vật có vú đã nuôi cây hoặc tế bào thực vật. Các vectơ biểu hiện tùy ý thường được sử dụng cho mỗi vật chủ có thể được sử dụng cho các vectơ biểu hiện này.

Tốt hơn nữa, vectơ biểu hiện theo sáng chế được biến nạp vào sinh vật nhân sơ hoặc vectơ biểu hiện được biến nạp vào sinh vật nhân thật như nấm men hoặc nấm sợi, tốt hơn nữa vectơ biểu hiện theo sáng chế được biến nạp vào sinh vật nhân thật, còn tốt hơn nữa vectơ biểu hiện theo sáng chế được biến nạp vào nấm sợi, và vẫn tốt hơn nữa vectơ biểu hiện theo sáng chế được biến nạp vào nấm *Aspergillus*. Việc sử dụng hệ thống biểu hiện ở sinh vật nhân sơ hoặc sinh vật nhân thật có thể dễ dàng tạo ra  $\beta$ -glucosidaza theo sáng chế với năng suất cao. Ngoài ra, do enzym  $\beta$ -glucosidaza chứa trình tự axit amin như nêu trong SEQ ID NO.1 vốn có sẵn trong nấm sợi *Acremonium cellulolyticus*, nên nó có thể được tổng hợp với các đặc tính giống hệt như của  $\beta$ -glucosidaza tự nhiên bằng cách biểu hiện  $\beta$ -glucosidaza bằng hệ thống biểu hiện của các sinh vật nhân thật như nấm sợi.

Tốt hơn nữa, ngoài polynucleotit theo khía cạnh thứ hai, vectơ biểu hiện theo sáng chế cũng mang gen kháng thuốc. Do điều này sẽ giúp cho dễ dàng sàng lọc sinh vật chủ

đã được biến nạp vectơ biểu hiện và sinh vật chủ chưa được biến nạp. Ví dụ về các gen kháng thuốc bao gồm gen kháng ampicilin, gen kháng kanamycin, gen kháng hygromycin, hoặc các gen kháng thuốc tương tự.

#### Thể biến nạp theo sáng chế

Theo khía cạnh thứ tư, sáng chế đề cập đến thể biến nạp chứa vectơ biểu hiện theo khía cạnh thứ ba. Enzym  $\beta$ -glucosidaza theo sáng chế có thể được biểu hiện ở thể biến nạp này. Enzym  $\beta$ -glucosidaza theo sáng chế có thể được biểu hiện ở nhiều vật chủ như *Escherichia coli*, nấm men, nấm sợi hoặc lục lạp của thực vật bậc cao.

Không có giới hạn cụ thể về phương pháp được sử dụng để tạo ra thể biến nạp bằng cách sử dụng vectơ biểu hiện, và quá trình tổng hợp có thể được thực hiện theo phương pháp thông thường được sử dụng để tạo ra thể biến nạp. Ví dụ về các phương pháp này bao gồm phương pháp PEG (polyetylen glycol)-canxi, phương pháp *Agrobacterium*, phương pháp súng gen, phương pháp điện di, và các phương pháp tương tự. Trong số đó, khi vật chủ là nấm sợi, thì phương pháp PEG-canxi hoặc phương pháp *Agrobacterium* được ưu tiên.

Khi vật chủ là sinh vật nhân sơ, nấm men, nấm sợi, tế bào côn trùng đã nuôi cây hoặc tế bào động vật có vú đã nuôi cây và các tế bào tương tự, thì thể biến nạp thu được theo sáng chế có thể được nuôi cây bằng các phương pháp tương tự được sử dụng để nuôi cây vật chủ này trước khi biến nạp.

Tốt hơn nữa, sinh vật nhân thật như nấm men, nấm sợi, tế bào côn trùng đã nuôi cây hoặc tế bào động vật có vú đã nuôi cây và các tế bào tương tự được sử dụng làm vật chủ được kết hợp với vectơ biểu hiện. Do các đột biến glycosyl hóa được thực hiện trên các protein ở sinh vật nhân thật, nên việc sử dụng thể biến nạp là sinh vật nhân thật có thể tạo ra  $\beta$ -glucosidaza có độ ổn định nhiệt cao hơn so với việc sử dụng thể biến nạp là sinh vật nhân sơ. Đặc biệt, khi thể biến nạp là nấm sợi như là *Aspergillus* và sinh vật nhân thật như nấm sợi hoặc nấm men, thì có thể dễ dàng tạo ra được  $\beta$ -glucosidaza có độ ổn định nhiệt cao và năng suất lớn.

Trong thể biến nạp theo sáng chế, cat-xet để biểu hiện  $\beta$ -glucosidaza theo sáng chế thu được từ vectơ biểu hiện theo khía cạnh thứ ba có thể được kết hợp vào bộ gen hoặc có thể nằm độc lập ở bên ngoài bộ gen.

### Phương pháp sản xuất enzym $\beta$ -glucosidaza theo sáng chế

Theo khía cạnh thứ năm, sáng chế đề cập đến phương pháp sản xuất enzym  $\beta$ -glucosidaza trong thể biến nạp nêu trên. Enzym  $\beta$ -glucosidaza theo sáng chế có thể được biểu hiện ổn định trong thể biến nạp được tạo ra bằng cách sử dụng vectơ biểu hiện trong đó polynucleotit theo khía cạnh thứ hai được kết hợp vào ở phía sau vùng khởi đầu không có khả năng kiểm soát tàn xuất biểu hiện và các yếu tố tương tự. Mặt khác, bằng cách thực hiện quá trình xử lý cảm ứng thích hợp trên thể biến nạp đã tạo ra vùng khởi đầu có thể cảm ứng biểu hiện theo hợp chất hoặc nhiệt độ cụ thể và các điều kiện tương tự, trong các điều kiện tương ứng để biểu hiện  $\beta$ -glucosidaza ở thể biến nạp mong muốn.

Không có giới hạn cụ thể về các phương pháp chiết xuất hoặc tinh chế  $\beta$ -glucosidaza từ thể biến nạp nêu trên miễn là phương pháp này không làm giảm hoạt tính của  $\beta$ -glucosidaza, và quá trình chiết xuất có thể được thực hiện theo phương pháp chiết xuất polypeptit thông thường từ các tế bào hoặc mô sinh học. Ví dụ về một phương pháp chiết xuất này bao gồm bước ngâm thể biến nạp trên vào dung dịch đệm thích hợp để chiết xuất  $\beta$ -glucosidaza, sau đó phân tách dịch chiết và phần bã rắn. Tốt hơn nếu dung dịch đệm này chứa chất làm tăng độ tan như chất hoạt động bề mặt. Khi thể biến nạp là thực vật, thì thể biến nạp có thể được cắt hoặc nghiền sơ bộ trước khi ngâm vào dung dịch đệm. Ngoài ra, phương pháp phân tách rắn-lỏng đã biết có thể được sử dụng để phân tách dịch chiết và phần bã rắn, như phương pháp lọc, lọc nén, tách ly tâm, và thể biến nạp có thể được ép trong khi vẫn được ngâm trong dung dịch đệm chiết xuất. Enzym  $\beta$ -glucosidaza trong dịch chiết có thể được tinh chế bằng các phương pháp đã biết như kết tinh, siêu lọc hoặc sắc ký.

Khi  $\beta$ -glucosidaza theo sáng chế đã được biểu hiện ở trạng thái chứa peptit tín hiệu bài tiết trong thể biến nạp nêu trên, sau khi nuôi cây thể biến nạp này, có thể dễ dàng và thuận tiện thu được dung dịch nuôi cây chứa  $\beta$ -glucosidaza bằng cách thu hồi phần dịch nổi nuôi cây từ canh trường thu được mà không chứa thể biến nạp. Ngoài ra, khi  $\beta$ -glucosidaza theo sáng chế chứa trình tự đánh dấu như trình tự đánh dấu His, có thể dễ dàng và thuận tiện tinh chế  $\beta$ -glucosidaza chứa trong dịch chiết hoặc phần dịch nổi nuôi cây có thể được tinh chế bằng phương pháp sắc ký ái lực sử dụng trình tự đánh dấu này.

Tức là, phương pháp sản xuất enzym  $\beta$ -glucosidaza theo sáng chế bao gồm bước

sản sinh  $\beta$ -glucosidaza trong thể biến nạp theo khía cạnh thứ tư, chiết xuất và tinh chế  $\beta$ -glucosidaza nêu trên từ thể tiếp hợp này, nếu muốn.

### Hỗn hợp xenlulaza theo sáng chế

Theo khía cạnh thứ sáu, sáng chế đề cập đến hỗn hợp xenlulaza chứa enzym  $\beta$ -glucosidaza theo khía cạnh thứ nhất hoặc  $\beta$ -glucosidaza thu được bằng phương pháp sản xuất enzym  $\beta$ -glucosidaza theo khía cạnh thứ năm, và ít nhất một loại xenlulaza khác. Enzym  $\beta$ -glucosidaza thu được bằng phương pháp sản xuất enzym  $\beta$ -glucosidaza theo khía cạnh thứ năm có thể ở trạng thái nằm trong thể biến nạp theo sáng chế hoặc có thể được chiết xuất hoặc tinh chế từ thể biến nạp này. Glucan chứa liên kết  $\beta$ -1,4 glycosit như xenluloza có thể được phân giải một cách hiệu quả hơn bằng  $\beta$ -glucosidaza theo sáng chế ở dạng hỗn hợp với các xenlulaza khác.

Không có giới hạn cụ thể về xenlulaza khác với  $\beta$ -glucosidaza chứa trong hỗn hợp xenlulaza nêu trên miễn là nó có hoạt tính thủy phân xenluloza.

Ví dụ về các xenlulaza khác với  $\beta$ -glucosidaza theo sáng chế chứa trong hỗn hợp xenlulaza này bao gồm hemixenlulaza như xylanaza hoặc  $\beta$ -xylosidaza, endoglucanaza, xenlobiohydrolaza, hoặc các enzym tương tự. Tốt hơn nữa, hỗn hợp xenlulaza theo sáng chế chứa ít nhất một hemixenlulaza và xenlobiohydrolaza, và tốt hơn nữa nếu hỗn hợp này chứa cả hemixenlulaza lẫn xenlobiohydrolaza. Đặc biệt, tốt hơn nếu hỗn hợp này chứa ít nhất một hoặc nhiều xenlulaza được chọn từ nhóm bao gồm xylanaza,  $\beta$ -xylosidaza, endoglucanaza và xenlobiohydrolaza, và tốt hơn nữa nếu hỗn hợp này chứa toàn bộ các enzym xylanaza,  $\beta$ -xylosidaza, endoglucanaza và xenlobiohydrolaza.

### Phương pháp sản xuất sản phẩm phân giải xenluloza theo sáng chế

Theo khía cạnh thứ bảy, sáng chế đề cập đến phương pháp sản xuất sản phẩm phân giải xenluloza để thu được sản phẩm phân giải xenluloza bằng  $\beta$ -glucosidaza theo sáng chế. Cụ thể hơn, sản phẩm phân giải xenluloza được tạo ra bằng cách cho nguyên liệu chứa xenluloza tiếp xúc với  $\beta$ -glucosidaza theo khía cạnh thứ nhất, thể biến nạp theo khía cạnh thứ tư hoặc  $\beta$ -glucosidaza thu được bằng phương pháp sản xuất enzym  $\beta$ -glucosidaza theo khía cạnh thứ năm.

Không có giới hạn cụ thể về nguyên liệu chứa xenluloza miễn là nó chứa

xenluloza. Ví dụ về nguyên liệu này bao gồm sinh khối xenluloza như cỏ hoặc chất thải nông nghiệp và giấy đã qua sử dụng. Tốt hơn nếu, nguyên liệu chứa xenluloza được xử lý cơ học như nghiền hoặc băm nhỏ, xử lý hóa học như xử lý bằng axit hoặc kiềm, hoặc xử lý ngâm hoặc hòa tan vào dung dịch đậm đặc thích hợp trước khi cho tiếp xúc với  $\beta$ -glucosidaza theo sáng chế.

Các điều kiện của phản ứng thủy phân xenluloza bởi  $\beta$ -glucosidaza theo sáng chế là các điều kiện cho phép enzym này thể hiện được hoạt tính của  $\beta$ -glucosidaza. Tốt hơn nếu phản ứng thủy phân xenluloza được thực hiện ở nhiệt độ nằm trong khoảng từ 20°C đến 60°C và ở độ pH nằm trong khoảng từ 4,0 đến 6,0 và tốt hơn nữa nếu phản ứng này được thực hiện ở nhiệt độ nằm trong khoảng từ 25°C đến 55°C và ở độ pH nằm trong khoảng từ 4,0 đến 6,0. Thời gian của phản ứng thủy phân xenluloza được điều chỉnh một cách thích hợp theo nhiều yếu tố như loại nguyên liệu chứa xenluloza cần thủy phân, phương pháp xử lý sơ bộ hoặc lượng nguyên liệu được sử dụng. Ví dụ, phản ứng thủy phân xenluloza có thể được thực hiện trong khoảng từ 10 phút đến 12 giờ.

Ngoài  $\beta$ -glucosidaza theo sáng chế, tốt hơn nếu ít nhất một loại xenlulaza khác được sử dụng trong phản ứng thủy phân xenluloza. Các xenlulaza giống như các enzym chứa trong hỗn hợp xenlulaza nêu trên có thể được sử dụng làm các xenlulaza khác này, và tốt hơn nếu các enzym này là xenlulaza ổn định nhiệt, có hoạt tính ở nhiệt độ nằm trong khoảng từ 20°C đến 60°C và ở độ pH nằm trong khoảng từ 4,0 đến 6,0. Ngoài ra, hỗn hợp xenlulaza theo khía cạnh thứ sáu có thể được sử dụng trong phương pháp sản xuất sản phẩm phân giải xenluloza thay cho  $\beta$ -glucosidaza theo khía cạnh thứ nhất, thay đổi nạp theo khía cạnh thứ tư, hoặc  $\beta$ -glucosidaza thu được bằng phương pháp sản xuất enzym  $\beta$ -glucosidaza theo khía cạnh thứ năm.

### **Ví dụ thực hiện sáng chế**

Sáng chế sẽ được mô tả chi tiết hơn thông qua các ví dụ dưới đây, tuy nhiên phạm vi của sáng chế không chỉ giới hạn ở các ví dụ này.

#### **Ví dụ 1**

##### **(1) Thiết kế vectơ biểu hiện *Aspergillus* BGL**

Chiết xuất ADN bộ gen của *Acremonium Cellulolyticus*

Chủng *Acremonium cellulolyticus* H1 (do International Patent Organism Depository of the National Institute of Technology and Evaluation cung cấp, số truy cập: FERM BP-11508, được ký hiệu là “chủng H1”) được cấy vào môi trường thạch PDB (môi trường đĩa thạch được điều chế bằng cách bổ sung 1,5% (kl/tt) agarosa vào môi trường PDA (bằng cách sử dụng canh trường Difco PDA)), sau đó nuôi cấy trong 1 tuần ở nhiệt độ 30°C. Các tế bào nấm thu được được cấy vào môi trường PDA sau khi cắt các đĩa thạch chứa các tế bào đã có đường kính bằng 5mm, tiếp theo nuôi cấy lắc ở nhiệt độ 30°C và tốc độ lắc bằng 130 vòng/phút. Thu lấy các tế bào nấm bằng cách ly tâm môi trường nuôi cấy trong 10 phút ở tốc độ bằng 15000 vòng/phút và rửa hai lần bằng môi trường PDA.

Các hạt từ được nạp vào ống nhựa có dung tích 2mL chứa mẫu tế bào nấm nêu trên, và mẫu tế bào nấm này được nghiền ba lần, mỗi lần trong 90 giây bằng máy nghiền bi (tên thiết bị: Shake Master, Bio-Medical Science Co., Ltd.), sau đó chiết xuất ADN bằng kit Nucleon (Amersham Corp.).

#### Giải trình tự ADN bộ gen của *Acremonium cellulolyticus* BGL

Trình tự mã hóa *BGL* (SEQ ID NO.3) được khuếch đại bằng phản ứng PCR sử dụng khuôn là ADN bộ gen thu được nêu trên và đoạn mồi có trình tự bazơ như nêu trong SEQ ID NO.4, đoạn mồi có trình tự bazơ như nêu trong SEQ ID NO.5 được thể hiện trong Bảng 1, và ADN polymeraza (nhãn hiệu: KOD-Plus, Toyobo Co., Ltd.). Phản ứng PCR bao gồm một chu kỳ thực hiện trong 2 phút ở nhiệt độ 94°C, 30 chu kỳ trong 20 giây ở nhiệt độ 96°C, trong 30 giây ở nhiệt độ 60°C và trong 5 phút ở nhiệt độ 72°C. Sản phẩm PCR được tinh chế bằng Kit QIAquick PXR (Qiagen Inc.).

#### Giải trình tự ADNbs của *Acremonium Cellulolyticus* BGL

Các tế bào nấm được điều chế bằng phương pháp được mô tả trong phần *Chiết xuất ADN bộ gen của Acremonium Cellulolyticus*. Tiếp theo, các hạt từ được nạp vào ống nhựa có dung tích 2mL chứa mẫu tế bào nấm nêu trên, và mẫu tế bào nấm này được nghiền ba lần, mỗi lần trong 90 giây bằng máy nghiền bi (tên thiết bị: Shake Master, Bio-Medical Science Co., Ltd.), sau đó chiết xuất ARN bằng kit Isogen II (Nippon Gene Co., Ltd.). ADNbs được tổng hợp từ ARN chiết xuất được bằng kit tổng hợp ADNbs (nhãn hiệu: SMARTer™ RACE cDNA Amplification Kit, Clontech Laboratories, Inc.).

ADNbs thu được được giải trình tự và trình tự thu được (SEQ ID NO.2) được so sánh với trình tự ADN bộ gen của *Acremonium Cellulolyticus* (SEQ ID NO.3) để xác định các đoạn intron.

#### Tổng hợp vectơ *E. coli* pBR-niaD chứa gen niaD

Phản ứng PCR được thực hiện theo cùng cách thức để khuếch đại ADNbs mã hóa *BGL*, khác biệt ở chỗ sử dụng khuôn là ADNbs bộ gen của chủng *Aspergillus oryzae* RIB40 (do National Institute of Technology and Evaluation cung cấp, mã NBRC: 100959, được ký hiệu là “chủng RIB40”), đoạn mồi có trình tự bazơ như nêu trong SEQ ID NO.6 và đoạn mồi có trình tự bazơ như nêu trong SEQ ID NO.7 được thể hiện trong Bảng 1 để khuếch đại ADNbs chứa gen niaD mã hóa nitrat reductaza thu được từ *Aspergillus oryzae*.

Sau khi phân cắt sản phẩm khuếch đại PCR thu được và plasmit pBR322 của *E.coli* (Takara Bio Inc.) bằng các enzym giới hạn AvaI và NdeI ở nhiệt độ 37°C, các sản phẩm phân cắt được phân tách bằng cách điện di trên gel agarosa, và băng đích được cắt, sau đó chiết xuất và tinh chế từ mảnh gel này bằng Kit chiết xuất gel QIAquick (Qiagen Inc.) để thu được các đoạn ADNbs đã được cắt bằng enzym giới hạn của plasmit pBR322 và gen niaD. Sau đó, các đoạn ADN này được nối với nhau bằng Kit nối ADN (Takara Bio Inc.) và các đoạn ADN này được biến nạp vào chủng *E.coli* JM109 (được ký hiệu là “chủng JM109”). Kết quả, thu được thể biến nạp chứa plasmit pBR-niaD (plasmit chứa đoạn ADNbs của gen niaD được chèn ở giữa các đoạn được cắt bằng các enzym giới hạn AvaI và NdeI của plasmit pBR322).

#### Biến nạp vùng kết thúc agdA vào pBR-niaD

Phản ứng PCR được thực hiện theo cùng cách thức để khuếch đại ADNbs mã hóa *BGL*, khác biệt ở chỗ sử dụng khuôn là ADN bộ gen của chủng *Aspergillus oryzae* RIB40, đoạn mồi có trình tự bazơ như nêu trong SEQ ID NO.8 và đoạn mồi có trình tự bazơ như nêu trong SEQ ID NO.9 được thể hiện trong Bảng 1 để khuếch đại ADNbs chứa vùng kết thúc của gen *agdA* thu được từ *Aspergillus* (cũng được gọi là “vùng kết thúc *agdA*”).

Sau khi phân cắt sản phẩm khuếch đại PCR thu được và plasmit pBR-niaD bằng các enzym hạn chế SalI và AvaI ở nhiệt độ 37°C, thu được các đoạn ADNbs đã được cắt bằng enzym giới hạn của pBR-niaD và vùng kết thúc *agdA* từ sản phẩm phân cắt này

theo cách thức giống như quy trình tổng hợp plasmit pBR-niaD nêu trên, và các đoạn ADN này được liên kết với nhau và biến nạp vào chủng JM109 được. Kết quả, thu được thê biến nạp chứa plasmit pBR-agdAT-niaD (plasmit chứa đoạn ADNbs của vùng kết thúc *agdA* được chèn ở giữa các đoạn được cắt bằng các enzym giới hạn SalI và AvaI của pBR322-niaD).

#### Biến nạp vùng khởi đầu enoA vào pBR-agdAT-niaD

Phản ứng PCR được thực hiện theo cùng cách thức để khuếch đại ADNbs mã hóa BGL, khác biệt ở chỗ sử dụng khuôn là ADN bộ gen của chủng *Aspergillus oryzae* RIB40, đoạn mồi có trình tự bazô như nêu trong SEQ ID NO.10 và đoạn mồi có trình tự bazô như nêu trong SEQ ID NO.11 được thể hiện trong Bảng 1 để khuếch đại ADNbs chứa vùng khởi đầu của gen *enoA* thu được từ *Aspergillus* (cũng được gọi là “vùng khởi đầu *enoA*”).

Sau khi phân cắt sản phẩm khuếch đại PCR thu được và plasmit pBR-agdAT-niaD bằng các enzym hạn chế NheI và SalI ở nhiệt độ 37°C, thu được các đoạn ADNbs đã được cắt bằng enzym giới hạn của plasmit pBR-agdAT-niaD và vùng khởi đầu *enoA* từ sản phẩm phân cắt này theo cách thức giống như quy trình tổng hợp plasmit plasmit pBR-niaD nêu trên, các đoạn ADN này được liên kết với nhau và biến nạp vào chủng JM109. Kết quả, thu được thê biến nạp chứa plasmit pBR-enoAP-agdAT-niaD (plasmit chứa đoạn ADNbs của vùng khởi đầu *enoA* được chèn ở giữa các đoạn được cắt bằng các enzym giới hạn NheI và SalI của plasmit pBR322-agdAT-niaD).

Bảng 1

SEQ ID NO.	Trình tự bazô
4	TCCTCCAAGTTACCCATGGCGGGAGGAATA
5	CGCTTCGTCGACCCCTCAGGCACTCTCACAA
6	ATGCTCGGGAGCTTGGATTCTACGTCTTC
7	ATGCATATGTCGAGAGTGTGTGGTCAACG
8	ATGGTCGACGAAGCGTAACAGGGATAGCCTAGAC
9	ATGCCCGAGAGTAACCCATTCCCGGTTCTCTAG
10	ATGGCTAGCAGATCTCGCGGCAGGGTTGAC
11	ATGGTCGACCCGGGTAACTGGAGGACGGAAGAAAAGAG

#### Biến nạp AND bộ gen BGL vào pBR-enoAP-agdAT-niaD

Trước tiên, sau khi phân cắt plasmit pBR-enoAP-agdAT-niaD bằng enzym giới hạn SalI ở nhiệt độ 30°C, thu được đoạn pBR-enoAP-agdAT-niaD được xử lý bằng SmaI

từ sản phẩm phân cắt này theo cách thức giống như quy trình tổng hợp plasmit pBR-niaD nêu trên.

Đoạn đã xử lý bằng SmaI này và trình tự *AND bộ gen* mã hóa *BGL* được tinh chế theo cách thức nêu trên được liên kết với nhau bằng cách sử dụng Kit tách dòng In-Fusion™ HD (Clontech Laboratories, Inc.) để thu được plasmit pBR-enoAP-BGL-agdAT-niaD (vectơ biểu hiện *Aspergillus oryzae BGL*), và biến nạp plasmit này vào các tế bào có khả năng sao chép hoàn toàn (Clontech Laboratories, Inc.) để thu được thê biến nạp *E.coli* BGL. Thê biến nạp này được nuôi cấy lắc qua đêm ở nhiệt độ 37°C và tốc độ bằng 180 vòng/phút trên môi trường LB chứa 100 $\mu$ g/mL ampicilin, và thu được plasmit pBR-enoAP-BGL-agdAT-niaD với số lượng lớn từ môi trường nuôi cấy nêu trên bằng cách sử dụng Kit QIAquick Miniprep (Qiagen Inc.).

(2) Sản xuất thê biến nạp *Aspergillus* được kết hợp với vectơ biểu hiện *Aspergillus BGL*

Plasmit pBR-enoAP-BGL-agdAT-niaD nêu trên được biến nạp vào chủng *Aspergillus oryzae* D300 (do National Institute of Technology and Evaluation cung cấp) bằng phương pháp PEG-canxi (Mol. Gen. Genet., Vol. 218, pp. 99-104 (1989)). Thê biến nạp (chủng *Aspergillus* BGL đã biến nạp) được sàng lọc trên môi trường Czapek-Dox (3% (kl/tt) đextrin, 0,1% (kl/tt) kali dihydro phosphat, 0,2% (kl/tt) kali clorua, 0,05% (kl/tt) magie sulfat, 0,001% (kl/tt) sắt sulfat và 0,3% (kl/tt) natri nitrat).

(3) Tổng hợp BGL từ chủng *Aspergillus* BGL đã biến nạp

Chủng *Aspergillus BGL* đã biến nạp được nuôi cấy trên môi trường Czapek-Dox để tạo bào tử, sau đó thu lấy các bào tử bằng nước vô trùng. Các bào tử này được cấy vào bình nón có dung tích 500mL chứa 100mL môi trường PD (2% (kl/tt) đextrin, 1% (kl/tt) polypepton, 0,1% (kl/tt) axit amin casein, 0,5% (kl/tt) kali dihydro phosphat, 0,05% (kl/tt) magie sulfat và 0,1% (kl/tt) natri nitrat) đến mật độ cuối cùng bằng  $1 \times 10^4$ /mL. Sau khi nuôi cấy trong 3 ngày ở nhiệt độ 30°C, sản phẩm gen mong muốn (*BGL*) được bài tiết và xuất hiện trong môi trường nuôi cấy. Dịch lỏng thu được sau khi nuôi cấy được sử dụng làm mẫu enzym.

BGL trong mẫu enzym được xác định bằng phân tích SDS-PAGE. Quá trình điện

di SDS của mẫu enzym này được thực hiện bằng cách sử dụng gel Mini-Gradient với gradient nồng độ nằm trong khoảng từ 10% đến 20% (Atto Corp.). Mẫu enzym và dung dịch xử lý mẫu Tris-SDS β-ME (Atto Corp.) được trộn ở tỷ lệ 1:1, sau đó xử lý trong 5 phút ở nhiệt độ 100°C và tiến hành điện di với 20μL hỗn hợp. Sau khi kết thúc quá trình điện di, gel cố định được nhuộm bằng EzStain Aqua (Atto Corp.) để hiện thị các băng protein. Sau đó, hình ảnh gel được chụp bằng hệ thống ChemiDoc XRS Plus (Bio-Rad Inc.). Hình ảnh gel này được phân tích bằng phần mềm Image Lab 2.0, sau đó định lượng protein.

Fig.1 thể hiện kết quả phân tích mẫu enzym (BGL) bằng phương pháp điện di SDS-PAGE. Băng bên trái là gen chỉ thị trọng lượng phân tử protein và băng bên phải là mẫu enzym. Kết quả phân tích cho thấy mẫu enzym thu được chứa BGL có trọng lượng phân tử xấp xỉ bằng 140 kDa.

#### (4) Đánh giá hoạt tính enzym

Hoạt tính enzym được tính theo đơn vị (U). 1 U được xác định theo phương trình dưới đây và được định nghĩa là lượng enzym cần thiết để tạo ra 1μmol sản phẩm từ cơ chất trong thời gian 1 phút.

$$1 \text{ U } (\mu\text{mol}/\text{phút}) = [\text{lượng đường tạo thành } (\mu\text{mol}/\text{L})] \times [\text{thể tích dung dịch phản ứng } (\text{L})] / [\text{thời gian phản ứng } (\text{phút})]$$

Ngoài ra, hoạt tính riêng tính trên 1mg protein được xác định bằng phương trình sau:

$$\text{Hoạt tính riêng (U/mg)} = [\text{hoạt tính tính theo đơn vị (U)}] / [\text{lượng protein (mg)}]$$

#### Đánh giá hoạt tính phân giải PNPG

PNPG (p-nitrophenyl β-D-glucopyranosid, do Sigma-Aldrich Corp. cung cấp) được sử dụng làm cơ chất chuẩn. Hoạt tính phân giải PNPG được sử dụng chủ yếu để đánh giá hoạt tính của β-glucosidaza. Ngoài ra, đường chuẩn được xây dựng từ các giá trị thu được của năm dung dịch pha loãng liên tiếp (0μM đến 200μM) được điều chế bằng cách pha loãng thích hợp dung dịch PNP (p-nitrophenol) 1000μmol/L bằng dung dịch đệm axit axetic 200mM (pH = 5,5).

Cụ thể, chuẩn bị các ống nhựa có thể tích bằng 1,5mL với số lượng bằng với số

lượng mẫu cần đo, và điều chế các dung dịch chuẩn bằng cách bổ sung 615 µL dung dịch đậm axit axetic 200mM (pH = 5,5) và 50µL dung dịch PNPG (3,4mM, dung môi là nước siêu tinh khiết) vào mỗi ống, sau đó trộn kỹ ở nhiệt độ 30°C. Tiếp theo, 10µL mẫu enzym được bổ sung vào mỗi ống để kích hoạt phản ứng enzym, và sau 15 phút kể từ lúc bắt đầu phản ứng, 625µL dung dịch nước natri carbonat 0,2M được bổ sung vào và khuấy trộn để dừng phản ứng. Sau đó, 200µL dung dịch phản ứng được lấy ra từ mỗi ống, và đo độ hấp thụ ở bước sóng 420nm (A420). Trong quá trình đo độ hấp thụ, mẫu trắng là mẫu được chuẩn bị theo cùng cách thức chỉ khác là bổ sung dung dịch đậm axit axetic 20mM (pH = 5,5) thay cho mẫu enzym. Nồng độ PNP được xác định từ các trị số độ hấp thụ A420 đo được và đường chuẩn, và hoạt tính riêng được xác định theo phương trình dưới đây:

$$\text{Hoạt tính riêng (U/mg)} = ([\text{Nồng độ PNP} (\mu\text{mol/L})] \times 0,001 \times 0,675/0,01) / (15 \times [\text{lượng protein (mg)}])$$

Kết quả phân tích cho thấy hoạt tính phân giải PNPG (hoạt tính riêng) của BGL được tạo ra bằng chủng *Aspergillus* BGL đã biến nạp bằng 13,2U/mg. Căn cứ trên các kết quả này, chứng tỏ rằng BGL theo sáng chế có hoạt tính phân giải PNPG.

#### (5) Đánh giá hoạt tính thủy phân

Các chế phẩm enzym được sử dụng để đánh giá chứa mẫu enzym (BGL) được điều chế theo phần (3) nêu trên, xenlobiohydrolaza chứa trình tự axit amin như nêu trong SEQ ID NO.12, endoglucanaza chứa trình tự axit amin như nêu trong SEQ ID NO.13, xylanaza (endo-1,4-beta-xylanaza A thu được từ *Thermoascus aurantiacus*, Số truy cập GenBank: AAF24127) và β-xylosidaza (β-xylosidaza thu được từ *Thermotoga maritima*, do Thermostable Enzyme Laboratory Co., Ltd. cung cấp).

Trước tiên, dung dịch nước amonica 25% (kl/tt) được trộn với sinh khối chứa lignoxenluloza ở dạng thân và lá cây ngô sau thu hoạch đã được nghiền mịn đến tỷ lệ khối lượng bằng 1:2,5 để thu được hỗn hợp cơ chất chứa thân và lá cây ngô sau thu hoạch và dung dịch nước amoniacy. Tiếp theo, hỗn hợp cơ chất này được để thủy phân sơ bộ trong 8 giờ ở nhiệt độ 80°C, sau đó phân tách amoniacy và điều chỉnh độ pH đến pH = 4,5. Tiếp theo, hàm lượng sinh khối được điều chỉnh đến 20% khối lượng để thu được sản phẩm thủy phân sơ bộ sử dụng trong ví dụ này. Chế phẩm enzym chứa BGL được bổ sung vào sản phẩm thủy phân sơ bộ này đến nồng độ enzym cuối cùng tính trên 1g sinh

khối bằng 4,5mg/g (thân và lá cây ngô sau thu hoạch) và để phản ứng trong 3 ngày ở nhiệt độ 50°C. Trong quá trình phản ứng, hỗn hợp được lắc bằng máy lắc ở tốc độ bằng 160 vòng/phút. Ngoài ra, hỗn hợp enzym thủy phân có nguồn gốc từ loài *Acremonium* có bán trên thị trường (nhãn hiệu: Acremonium Xenlulaza, Meiji Seika Pharma Co., Ltd.) được sử dụng làm mẫu đối chứng và để phản ứng theo cùng cách thức.

Sau khi kết thúc phản ứng, dịch thủy phân thu được được chuyển vào ống lấy mẫu và ly tâm trong 10 phút ở nhiệt độ 4°C với lực ly tâm bằng  $15760 \times g$ . Phần dịch nổi thu được được chuyển vào ống nhựa sạch có dung tích 1,5mL, và sau khi gia nhiệt trong 5 phút ở nhiệt độ 95°C, được ly tâm trong 5 phút ở nhiệt độ 4°C với lực ly tâm bằng  $15760 \times g$ . Sau khi phần dịch nổi thu được được chuyển một lần nữa vào ống nhựa sạch có dung tích bằng 1,5mL, phần dịch nổi được lọc bằng màng lọc 0,2μm (đường kính 13mm). chuyển 0,2mL dịch lọc vào bình phản ứng, sau đó định lượng nồng độ đường bằng phương pháp HPLC ở các điều kiện được chỉ ra dưới đây. Glucoza và xyloza (Wako Pure Chemical Industries, Ltd.) lần lượt được sử dụng làm chất chuẩn cho hệ thống HPLC.

Thiết bị đo nồng độ đường; Thiết bị phân tách: Waters 2695 (Waters Corp.)

Bộ phận phát hiện RI: Waters 2414 (Waters Corp.)

Cột: Bio-Rad HPX-87P (Bio-Rad Inc.)

Điều kiện đo nồng độ đường:

Dung môi rửa giải: Nước siêu tinh khiết

Tốc độ dòng: 0,6 mL/phút

Nhiệt độ cột: 85°C

Nhiệt độ bộ phận phát hiện: 40°C

Fig.2 thể hiện sắc ký đồ HPLC của dịch thủy phân thu được từ mỗi phản ứng được phát hiện bằng detectơ hồng ngoại với các phân đoạn thu được ở thời gian lưu nằm trong khoảng từ 10 phút đến 16 phút, tại đó các disaccarit và monosaccarit được rửa giải. Trên sắc ký đồ này, ký hiệu “enzym được bổ sung” thể hiện kết quả phân tích của dịch thủy phân thu được sau khi bổ sung chế phẩm enzym nêu trên và ký hiệu “enzym không được bổ sung” thể hiện kết quả phân tích của dịch thủy phân được xử lý theo cùng cách thức

nhưng không bổ sung chế phẩm enzym nêu trên.

Kết quả định lượng cho thấy trái ngược với nồng độ đường của dịch thủy phân (tổng nồng độ của glucoza và xyloza) khi sử dụng hỗn hợp enzym thủy phân có bán trên thị trường bằng khoảng 1,82% khối lượng, thì trị số này khi sử dụng chế phẩm enzym chứa BGL theo sáng chế bằng khoảng 2,72% khối lượng, tức là lượng đường được tạo ra lớn hơn gấp 1,5 lần. Các kết quả này chứng tỏ rằng việc sử dụng kết hợp BGL với các enzym thủy phân khác sẽ thu được hỗn hợp enzym có hoạt tính thủy phân cao hơn so với hỗn hợp enzym thủy phân có nguồn gốc từ *Acremonium* có bán trên thị trường.

#### (6) Đánh giá hoạt tính của enzym

##### Đánh giá hoạt tính phân giải xenlobioza

Hoạt tính phân giải xenlobioza và hoạt tính phân giải xylobioza được đánh giá bằng cách sử dụng mẫu enzym được điều chế theo phần (3) nêu trên.

Cụ thể, 200 $\mu$ L dung dịch nước xenlobioza 0,03M và 190 $\mu$ L dung dịch đậm axitic axetic 200mM (pH = 5,5) được bổ sung tương ứng vào hai ống nhựa có dung tích bằng 1,5mL và trộn kỹ, sau đó ủ sơ bộ trong 5 phút ở nhiệt độ 30°C. Sau khi ủ sơ bộ, 10 $\mu$ L mẫu enzym được bổ sung vào một trong số 2 ống nhựa này để hoạt hóa phản ứng enzym. Sau 90 phút tính từ khi bắt đầu phản ứng, dung dịch trong ống nhựa này được gia nhiệt trong 5 phút ở nhiệt độ 95°C để dừng phản ứng enzym (thời gian phản ứng enzym: 90 phút). 10 $\mu$ L mẫu enzym được bổ sung vào ống nhựa còn lại, ngay sau đó gia nhiệt dung dịch trong ống nhựa này trong 5 phút ở nhiệt độ 95°C để dừng phản ứng enzym (thời gian phản ứng enzym: 0 phút).

Ngoài ra, 200 $\mu$ L dung dịch nước xylobioza 0,014M và 190 $\mu$ L dung dịch đậm axitic axetic 200mM (pH = 5,5) được bổ sung tương ứng vào hai ống nhựa có dung tích bằng 1,5mL và trộn kỹ, sau đó ủ sơ bộ trong 5 phút ở nhiệt độ 30°C, và tiếp theo 100 $\mu$ L mẫu enzym được bổ sung vào ống nhựa này để hoạt hóa phản ứng enzym. Sau khi ủ sơ bộ, 10 $\mu$ L mẫu enzym được bổ sung vào một trong số 2 ống nhựa này để hoạt hóa phản ứng enzym. Sau 90 phút tính từ khi bắt đầu phản ứng, dung dịch trong ống nhựa này được gia nhiệt trong 5 phút ở nhiệt độ 95°C để dừng phản ứng enzym (thời gian phản ứng enzym: 90 phút). 10  $\mu$ L mẫu enzym được bổ sung vào ống nhựa còn lại, ngay sau đó gia nhiệt

dung dịch trong ống nhựa này trong 5 phút ở nhiệt độ 95°C để dừng phản ứng enzym (thời gian phản ứng enzym: 0 phút).

Sau khi kết thúc các phản ứng, bốn ống nhựa này được ly tâm trong 5 phút với lực ly tâm bằng  $15760 \times g$ . Sau khi chuyển phần dịch nổi thu được vào ống nhựa có dung tích bằng 1,5mL, phần dịch nổi này được lọc bằng màng lọc 0,2 µm (đường kính bằng 13mm). 0,2 mL dịch lọc được chuyển vào bình phản ứng, nồng độ đường được định lượng bằng phương pháp HPLC ở cùng điều kiện như phần (5) nêu trên, và hoạt tính riêng tính trên đơn vị khối lượng (U/mg) được xác định theo phương trình dưới đây. Glucoza và xyloza (Wako Pure Chemical Industries, Ltd.) lần lượt được sử dụng làm chất chuẩn cho hệ thống HPLC.

$$[\text{Hoạt tính riêng (U/mg)}] = ([\text{nồng độ glucoza (\mu mol/L)}] \times 0,4/0,01)/(90 \times [\text{lượng protein (mg)}])$$

Fig.3 và Fig.4 thể hiện các sắc ký đồ HPLC của các dịch thủy phân thu được từ mỗi phản ứng được phát hiện bằng detector hồng ngoại với các phân đoạn thu được ở thời gian lưu nằm trong khoảng từ 9 phút đến 15 phút, tại đó các disaccarit và monosaccarit được rửa giải. Fig.3 là sắc ký đồ của các dung dịch phản ứng enzym với cơ chất là xenlobiozae, trong khi đó Fig.4 là sắc ký đồ của các dung dịch phản ứng enzym với cơ chất là xylobioza.

Như được thể hiện trên Fig.3, khi sử dụng cơ chất là xenlobioza, nếu thực hiện phép so sánh giữa dịch thủy phân khi thời gian phản ứng bằng 0 phút (ký hiệu “trước phản ứng” trên sắc ký đồ) và dịch thủy phân khi thời gian phản ứng bằng 90 phút (ký hiệu “sau phản ứng” trên sắc ký đồ), thì píc sắc ký quan sát được đối với xenlobioza có thời gian lưu xấp xỉ bằng 11 phút đối với dịch thủy phân sau phản ứng là nhỏ hơn so với dịch thủy phân trước phản ứng, trong khi đó píc sắc ký quan sát được đối với glucoza có thời gian lưu xấp xỉ bằng 13,3 phút là lớn hơn, điều này chứng tỏ rằng xenlobioza đã được phân giải thành glucoza bởi BGL theo sáng chế. Hoạt tính riêng phân giải xenlobioza của BGL theo sáng chế bằng 1,78 U/mg.

Mặt khác, như được thể hiện trên Fig.4, khi sử dụng cơ chất là xylobioza, do píc sắc ký chỉ quan sát được đối với xylobioza có thời gian lưu xấp xỉ bằng 12,3 phút ngay cả đối với dịch thủy phân khi thời phản ứng enzym bằng 90 phút (ký hiệu “sau phản ứng”

trên sắc ký đồ) là giống như dịch thủy phân khi thời gian phản ứng enzym bằng 0 phút (ký hiệu “trước phản ứng” trên sắc ký đồ), điều này chứng tỏ rằng rằng xylobioza không bị phân giải bởi BGL theo sáng chế.

(7) Mức độ phụ thuộc vào nhiệt độ của hoạt tính phân giải PNPG

Mức độ phụ thuộc vào nhiệt độ của hoạt tính phân giải PNPG của BGL được đánh giá bằng cách sử dụng mẫu enzym được điều chế theo phần (3) nêu trên.

Cụ thể, sau khi thực hiện các phản ứng enzym theo cùng cách thức như được mô tả trong phần *Đánh giá hoạt tính phân giải PNPG* trong mục (4) nêu trên chỉ khác là thực hiện các phản ứng này ở nhiệt độ 30°C, 45°C, 60°C, 75°C hoặc 90°C, 200µL dung dịch phản ứng được lấy ra từ mỗi ống, và đo độ hấp thụ ở bước sóng 420nm (A420) và định lượng nồng độ PNP trong dung dịch phản ứng sau khi kết thúc phản ứng enzym từ đường chuẩn được dựng trước.

Các kết quả định lượng nồng độ PNP của mỗi dung dịch phản ứng và các trị số hoạt tính tương đối (%) tính theo trị số 100% là hoạt tính phân giải PNPG của dung dịch phản ứng có nồng độ PNP cao nhất được thể hiện trên Bảng 2. Nồng độ PNP trong dung dịch phản ứng sau khi kết thúc phản ứng phụ thuộc vào hoạt tính phân giải PNPG của BGL. Như được thể hiện trên Bảng 2, BGL theo sáng chế đã được kiểm chứng là có hoạt tính phân giải PNPG ở nhiệt độ nằm trong khoảng từ 30°C đến 75°C, và có hoạt tính phân giải PNPG mạnh nhất ở nhiệt độ 45°C.

Bảng 2

Nhiệt độ phản ứng (°C)	30	45	60
Nồng độ PNP (µM)	60,43	128,57	101,14
Hoạt tính phản ứng (%)	47,0	100,0	78,7

(8) Mức độ phụ thuộc vào độ pH của hoạt tính phân giải PNPG

Mức độ phụ thuộc vào độ pH của hoạt tính phân giải PNPG của BGL được đánh giá bằng cách sử dụng mẫu enzym được điều chế theo phần (3) nêu trên.

Cụ thể, sau khi thực hiện các phản ứng enzym theo cùng cách thức như được mô tả trong phần *Đánh giá hoạt tính phân giải PNPG* trong mục (4) nêu trên chỉ khác là sử dụng dung dịch đệm HCl-KCl 200mM (pH = 1,5), dung dịch đệm xitrat-phosphat (pH = 3,0), dung dịch đệm axit axetic 200mM (pH = 5,5) hoặc dung dịch đệm phosphat 200mM

(pH = 8,0) để trộn với dung dịch PNPG, 200 $\mu$ L dung dịch phản ứng được lấy ra từ mỗi ống, và đo độ hấp thụ ở bước sóng 420nm (A420) và định lượng nồng độ PNP trong dung dịch phản ứng sau khi kết thúc phản ứng enzym từ đường chuẩn được dung trước.

Các kết quả định lượng nồng độ PNP của mỗi dung dịch phản ứng và các trị số hoạt tính tương đối (%) tính theo trị số 100% là hoạt tính phân giải PNPG của dung dịch phản ứng có nồng độ PNP cao nhất được thể hiện trên Bảng 3. Như được thể hiện trên Bảng 3, mặc dù BGL theo sáng chế đã được kiểm chứng là có hoạt tính phân giải PNPG ở độ pH nằm trong khoảng từ 3,3 đến 5,5 và có hoạt tính phân giải PNPG mạnh nhất ở độ pH = 3,0, nhưng enzym này không có hoạt tính phân giải PNPG ở độ pH = 1,5 và hầu như không có hoạt tính phân giải PNPG ở độ pH = 8,0.

Bảng 3

Độ pH của dung dịch phản ứng	1,5	3,0	5,5	8,0
Nồng độ PNP ( $\mu$ M)	-0,60	67,14	60,43	0,86
Hoạt tính phản ứng (%)	-0,9	100,0	90,0	1,3

#### Khả năng ứng dụng trong công nghiệp

Enzym  $\beta$ -glucosidaza theo sáng chế, polynucleotit mã hóa enzym này, vectơ biểu hiện chứa polynucleotit này, và thết biến nạp chứa vectơ biểu hiện này có thể được áp dụng trong lĩnh vực sản xuất năng lượng từ nguyên liệu chứa xenluloza.

**DANH MỤC TRÌNH TỰ**

<110> HONDA MOTOR CO., LTD.  
 <120> ENZYM  $\beta$ -GLUCOSIDAZA, VECTO BIÊU HIỆN ENZYM NÀY, THÊ BIÉN NẤP CHÚA VECTO NÀY VÀ PHƯƠNG PHÁP SẢN  
 XUẤT SẢN PHẨM PHÂN GIẢI XENLULOZA BẰNG ENZYM NÀY  
 <130> H113210301  
 <160> 13  
 <170> PatentIn version 3.1  
 <210> 1  
 <211> 874  
 <212> PRT  
 <213> *Acremonium cellulolyticus*  
 <400> 1  
 Met Ara Gly Gly Ile Ser Phe Leu Leu Gly Leu Leu Leu Ara  
 1 5 10 15  
 His Cys Val Ara Ara Ser Thr His Arg Ser Asn Pro Lys Gln Asn Asn  
 20 25 30  
 Asp Lys Gln Lys Arg Asp Ser Leu Pro Thr Asn Tyr Thr Thr Pro Asp  
 35 40 45  
 Tyr Tyr Pro Ara Pro Asn Gly Gly Trp Asp Ser Asn Trp Ser Ara Ara  
 50 55 60  
 Tyr Ara Lys Ara Gln Lys Val Val Ser Asn Met Thr Leu Ara Glu Lys  
 65 70 75 80  
 Val Asn Ile Thr Ser Gly Thr Gly Tyr Leu Met Gly Pro Cys Val Gly  
 85 90 95  
 Gln Thr Gly Ser Ara Leu Arg Phe Gly Ile Pro Arg Ile Cys Leu Gln  
 100 105 110  
 Asp Gly Pro Leu Gly Ile Arg Asn Thr Asp Asn Asn Ser Ara Phe Pro  
 115 120 125  
 Ara Gly Val Thr Ara Gly Ara Thr Trp Asp Lys Asp Leu Met Tyr Ara  
 130 135 140  
 Arg Gly Val Ara Ile Gly Glu Ara Arg Gly Lys Gly Ile Asn Val  
 145 150 155 160  
 Gln Met Gly Pro Val Val Gly Pro Leu Gly Arg Lys Pro Arg Ser Gly  
 165 170 175  
 Arg Ile Trp Glu Gly Phe Gly Ara Asp Pro Ser Leu Gln Gly Ile Ara  
 180 185 190  
 Ara Ara Gln Thr Ile Gln Gly Met Gln Ser Thr Gly Val Ile Ara Thr  
 195 200 205  
 Leu Lys His Tyr Ile Leu Asn Glu Gln Glu Met Tyr Arg Met Thr Asp  
 210 215 220  
 Val Val Gln Val Gly Tyr Ser Ser Asp Ile Asp Asp Arg Thr Leu His  
 225 230 235 240  
 Glu Ile Tyr Leu Trp Pro Phe Ara Glu Gly Val Arg Ara Gly Val Gly  
 245 250 255  
 Ser Ile Met Ara Ara Tyr Asn His Val Asn Gly Ser Leu Cys Thr Gln  
 260 265 270  
 Asn Ser Gln Ile Leu Asn Gly Leu Leu Lys Asp Glu Leu Gly Phe Gln  
 275 280 285  
 Gly Phe Val Val Ser Asp Trp Tyr Ara Gln Phe Gly Gly Val Ser Ser  
 290 295 300  
 Ara Leu Ara Gly Leu Asp Met Ara Met Pro Gly Asp Gly Ara Ile Pro  
 305 310 315 320  
 Leu Leu Gly Asp Ser Phe Trp Asn Tyr Glu Leu Ser Thr Ara Ile Leu  
 325 330 335  
 Asn Gly Thr Ile Pro Val Glu Arg Leu Asn Asp Met Val Thr Arg Ile  
 340 345 350  
 Val Ara Thr Trp Phe Gln Met Gly Gln Asp Asp Asp Tyr Pro Glu Pro  
 355 360 365  
 Asn Phe Ser Thr Asn Thr Glu Asp Ara Thr Gly Pro Leu Tyr Pro Gly  
 370 375 380  
 Ara Leu Phe Ser Pro Ser Gly Val Val Asn Gln Phe Val Asn Val Gln  
 385 390 395 400  
 Gly Asn His Asn Thr Ile Ara Arg Glu Val Ara Arg Asp Ara Ile Thr  
 405 410 415  
 Leu Leu Lys Asn Val Asn Gln Thr Leu Pro Leu Ser Thr Asn Ara Ser  
 420 425 430  
 Leu Ser Val Phe Gly Thr Asp Ara Gly Pro Asn Ser Gly Gly Leu Asn  
 435 440 445  
 Ser Cys Ser Asp Met Gly Cys Asp Asn Gly Ile Leu Thr Met Gly Trp  
 450 455 460  
 Gly Ser Gly Ser Ara Arg Leu Pro Tyr Val Ile Thr Pro Gln Gln Ara  
 465 470 475 480  
 Ile Gln Asn Ile Ser Ara Asn Ara Gln Phe His Ile Ser Asp Ser Phe  
 485 490 495  
 Pro Ser Val Thr Pro Ara Ara Asp Asp Ile Ara Ile Val Phe Ile Asn

500                    505                    510  
 Ara Asp Ser Gly Glu Asn Tyr Ile Thr Val Glu Ser Asn Pro Gly Asp  
 515                    520                    525  
 Arg Thr Thr Ara Gly Leu Asn Ara Trp His Gly Gly Asp Asp Leu Val  
 530                    535                    540  
 Val Asp Ara Ara Ara Lys Tyr Ser Thr Val Ile Val Val Ile His Thr  
 545                    550                    555                    560  
 Val Gly Pro Ile Leu Met Glu Lys Trp Ile Asp Leu Pro Ser Val Lys  
 565                    570                    575  
 Ara Val Leu Val Ara His Leu Pro Gly Gln Glu Ara Gly Asn Ser Leu  
 580                    585                    590  
 Thr Asp Val Leu Phe Gly Asp Tyr Ser Pro Ser Gly His Leu Pro Tyr  
 595                    600                    605  
 Thr Ile Pro His Asn Glu Ser Glu Tyr Pro Ara Ser Val Gly Leu Ile  
 610                    615                    620  
 Asp Gln Trp Phe Gly Gln Ile Gln Asp Gln Phe Thr Glu Arg Ile Tyr  
 625                    630                    635                    640  
 Ile Asp Tyr Arg Tyr Phe Leu Gln Ara Asn Ile Thr Pro Arg Phe Pro  
 645                    650                    655  
 Phe Gly Tyr Gly Leu Ser Tyr Thr Phe Asn Phe Ser Asp Ara Thr  
 660                    665                    670  
 Val Thr Thr Gly Thr Ser Leu Thr Gln Tyr Pro Pro Ara Arg Pro Ara  
 675                    680                    685  
 Lys Ser Pro Thr Pro Thr Tyr Ara Thr Thr Ile Pro Pro Pro Ara Ser Glu  
 690                    695                    700  
 Val Ara Trp Pro Thr Gly Phe Asn Ser Ile Trp Arg Tyr Leu Tyr Pro  
 705                    710                    715                    720  
 Tyr Leu Asp Asn Pro Ara Ara Ara Thr Ser Thr Ara Pro Tyr Pro Tyr  
 725                    730                    735  
 Pro Thr Gly Tyr Lys Thr Thr Pro Gln Pro Ara Pro Arg Ara Gly Gly  
 740                    745                    750  
 Ara Gln Gly Gly Asn Pro Ara Leu Trp Asp Thr Val Phe Thr Val Ser  
 755                    760                    765  
 Leu Arg Val Thr Asn Thr Gly Thr Arg Ser Gly Arg Ara Val Val Gln  
 770                    775                    780  
 Leu Tyr Val Glu Leu Pro Gly Asp Thr Leu Gly Val Asp Leu Pro Pro  
 785                    790                    795                    800  
 Arg Gln Leu Arg Gln Phe Glu Lys Thr Ser Ile Leu Ara Pro Gly Glu  
 805                    810                    815  
 Ser Glu Thr Leu Ser Leu Gln Val Thr Arg Lys Asp Leu Ser Val Trp  
 820                    825                    830  
 Asp Val Ile Val Gln Asp Trp Lys Ara Pro Val Asn Gly Ara Gly Val  
 835                    840                    845  
 Lys Phe Trp Ile Gly Glu Ser Val Ara Val Glu Asp Met Gln Ile Val  
 850                    855                    860  
 Cys Thr Val Gly Gln Gly Cys Glu Ser Ara  
 865                    870  
 <210> 2  
 <211> 2625  
 <212> ADN  
 <213> Acremonium cellulolyticus  
 <400> 2

atggcggag	gaataatctc	atttcttta	gggcttctcc	tcctcgca	ttgtgtcgcc	60
gcatcaacac	accgctcaa	ccccaaagcaa	aacaacgaca	aacaaaaacg	cgacagtctt	120
ccaaacaaact	acacaacacc	agattactat	cccgaccta	atggcggtt	ggactccaac	180
tggtcggccg	cttacgaaa	agcgaaaag	gtcgtcagta	acatgacgct	tgccgaaaag	240
gtcaacatta	cttccggcac	aggctactta	atgggtccct	gttaggtca	aaccggtagc	300
gctttacgat	tcggatttcc	gcgtatatgt	cttcaagatg	gaccgctggg	tatccgaaac	360
acggataaca	actcagcttt	ccctgtgtt	gtactgcag	gccaacatg	ggacaaggac	420
ttgatgtacg	cccgaggcgt	cgcaatcgcc	gaagaagccc	gcccgtttaagg	aattaatgtc	480
catatggggcc	ccgtcgtcgg	ccctcttggt	cgcaagccca	gatctggtcg	aatctggaa	540
ggctttgggt	ctgatccgtc	gttgcaggggg	attgtctgt	cgcagacgat	tcagggtatg	600
cagagcaccg	gggtgattgc	gacgcttaag	cattatattt	tgaatgaaca	ggaaatgtat	660
cggatgacgg	atgttgtcga	agtgggttat	tcgtcgata	ttgatgatcg	gacgttgcat	720
gagatttatac	tttggccgtt	tgctgaagga	gtgagggctg	gtgtgggctc	aattatggct	780
gcctataacc	atgtgaatgg	atcactgtgt	acgaaaaaca	gccaatctt	taacggccta	840
ctgaaagatg	aacttgggtt	ccaggggtt	gtcgtatctg	actgttgcgc	tcagtttgc	900
ggcgtgtctt	cagcattagc	tggattggac	atggatctg	caggagacgg	cgcaattccg	960
ttgcttaggg	atagtttctg	gaactatgg	ttatcgacgg	caattttgaa	ttgttaccatt	1020
ccagttgaga	gactgaatga	tatgtaaca	cgaatagtag	caacatgggt	ccaaatgggc	1080
caagatgacg	attacccaga	gcccaatttc	tcaacaaaca	ccgaagacgc	cacgggtccc	1140
ttgtatcccg	gtgctcttt	ttctccctca	ggtgtggtca	atcaattcgt	caatgtacaa	1200
ggtaaccaca	ataccatcgc	cagagaagtc	gctcgatgt	caatcacatt	actgaagaa	1260
gtaaacccaa	ccctgcctt	gagcaccat	gcattcttga	gctgtttcg	aacagacgca	1320
ggtcccaatt	caggggggct	gaactcatgc	tccgacatgg	gctgcgataa	ttgtatattg	1380
acaatgggt	ggggaaatgg	aagcgcaga	ctaccatgtat	tattatcgcc	gcaacaggcg	1440
attcaaaaaca	tctcgccaaa	tgccgatgtc	catatTCGG	atgttttcc	ctccgtcact	1500
ccagcggcag	atgatattgc	atttgttgc	atcaatgcgg	attccggta	gaattatatc	1560

actgttggaga	gtaatcccg	tgataggacg	actgctggac	tcaatgcctg	gcatgggtgc
gatgattttgg	ttggcgtatgc	agctgtctaa	tacagcacag	tcattgtcgt	tattcacaca
gttggccaa	tccttatgga	aaaatggata	gacctgcct	ctgttaaagc	agtccctcg
gctcatctac	ccggccaaaga	ggccggaaat	tctctgacag	acgttctt	cggcactac
agtccctagt	gtcatttgcc	atacaccatc	ccacacaacg	aatccgagta	tccagccagt
gtcggctcaa	tcgatcaatg	gttcggccaa	atccaagacc	agttcacg	gcccacat
atagattatc	gttacttct	gcaagccaaat	attaccacac	ggttccatt	cggatatgtt
ctatcataca	cgtatccaa	tttctccat	gogacggtt	caacgggtac	atcggttact
cagtagccctc	cagcaaggcc	agcgaagagc	ccccacgcca	cgtatgcac	aaccatccca
ccagcatcg	aagtagcatg	gccaacttgt	ttcaattcta	tttggcggt	tttgtaccca
tatctcgata	atccagccgc	agctacctca	accgctccat	acccttatcc	gacgggttac
aagacaacgc	cgcacccggc	acccgcgc	ggcggagcgc	agggaggtaa	tcccgccgt
tggatatacg	tcttcacgg	cagtttgggg	gttactataa	ccggactat	gtctgggtcg
gctgttgc	agttatatgt	tgaatgcct	ggagataact	ttgggtgt	tcttcctct
agacagctgc	gacagttga	gaagacttcg	atattggcgc	ctgttgagtc	ggagacgctg
tcgttgagg	tgaccagaaa	ggatttgagt	gtgtgggatg	ttattgtgca	ggattggaaa
gcccaggta	atggagcggg	tgtcaaattt	tgattttggg	agagcgtggc	agtggaggat
atgcaaatag	tttgactgt	tggtcaggga	tgtgagatgt	cctga	
<210>	3				
<211>	2739				
<212>	ADN				
<213>	<i>Acremonium cellulolyticus</i>				
<400>	3				
atggcggggag	gaataatctc	atttctctta	gggcttctcc	tcctcgcgc	ttgtgtcgcc
gcatcaacac	accgctctaa	ccccaaagcaa	aacaacgcac	aacaaaaacg	cgacagtctt
ccaaacaact	acacaaacacc	agattactat	cccgacacta	atggcggtt	ggactccaac
tggtcggcc	cttacgcaaa	agcgc当地aa	gtcgtcgt	acatgcacgt	tgccggaaag
gtcaacatta	cttccggcac	aggactacta	atgggttcc	gtgttaggtc	aaccggtagc
gctttacgat	tcggatttcc	cgctatatgt	cttcaagatg	gaccgttgg	tatccgaaac
acggataaca	acttcagctt	ccctgtctgt	gttaactgcag	gcgcacat	ggacaaggac
tttgcgtatc	cccgaggcgt	cgcaatggc	gaagaagccc	gcggtaaagg	aattaatgtc
catatgggac	cccgccgtc	ggcccttctt	gtcgcagac	cagatctgt	cgaatctggg
aaggctttgg	tgctgtatcc	tcgttgcagg	ggattgtctc	tgccgcagac	attcagggt
tgcagagcac	cgggggtt	gcccgcgtt	agcattatata	tttgaatgaa	caggaatgt
atcgatgtac	ggatgttgc	caagtgggtt	attcgtcg	tattgtat	cgacgttgc
atagagattt	tttttgcgc	tttgcgtaa	gagtggggc	ttgttgggc	tcaattatgg
ctggctataa	ccatgtttag	tcggcgtatt	tggtggaa	gaatatttga	actgataata
aatatacagg	tgaatggatc	actgtgtacg	aaaaacagcc	aaatccttaa	cgccctactg
aaagatgaac	tttgcttcca	ggggtttgc	gtatctact	ggtacgctc	gttggccgc
gtgttcttag	cattagctgg	attggacatg	gctatgcac	gagacggcgc	aattccgtt
ctaggagata	gttttgcgc	ctatgatgtt	tcgacggca	tttgcatttgc	taccattca
gttggagagac	tgaatgtat	ggttgtat	gttgcgtatca	ctgataaaga	tgctcttgc
taacgtataa	acttcgatgt	aacacgata	gtacggatcat	ggttccaaat	ggccaaat
gacgattacc	caagccaa	tttctcaaca	aacaccggaa	acggccacgg	ttcccttgc
cccggtgctc	tcttttctt	ctcagggtgt	gtcaatcaat	tcgtcaatgt	acaaggtaac
cacaatacca	tcgcccggaa	agtcgtcgt	gtacgtatca	cattactgaa	gaacgtaaac
caaaacctgc	ctctgagcac	caatgcattc	tttgcgtgt	tcggaacaga	cgcaggccc
aatttcagggg	ggctgaaact	atgtccgcac	atgggtctgc	ataatgtat	attgacaaatg
ggctggggaa	gttggaaacgc	caagactacc	ttatgtcatt	ccggcaaca	ggcgtatcaa
aaatctcg	caaatggc	gttccatatt	tcggatgtt	tteccctcg	cactccacg
gcagatgtata	tttgcgtatt	gttcatcaat	ggcgatttcc	tgfagaattt	tactactgtt
gagagtaatc	ccgggtatag	gacgactgt	ggactcaatg	cctggcatgg	ttggcgtatgt
tttgcgtatc	atgcgtatc	taatacagc	acagtcttgc	tcgttattca	cacagtttgg
ccaaatccctt	tggaaaaatg	gatagacctg	ccctctgtt	aagcgttct	cgtgtctcat
ctacccggcc	aaaggccgg	gaatttctgt	acagacgtt	tcttcggcga	ctacgttct
agtggatctt	ttccatatac	catccccacac	aacgaatcc	agatccagc	cagtgtcggt
ctaatcgatc	aatgggtcg	ccaaatccaa	gaggatgtt	ccggacgtat	ctatataat
tatcgatctt	tcttcgttgc	caatattacc	ccacgggtt	cattcgat	ttgttctatca
tacacgactt	tcaatttctc	cgatgcacg	tttacaacgg	gtacatcg	gactcgtatc
cctccagcaa	ggccagcgaa	gagccccacg	ccaaacgtat	cgacaaccat	cccaccagca
tcggaaatgt	catggccaaac	ttgttcaat	tctatttggc	gttatttgc	cccatatctc
gataatccag	ccggcactac	ctcaaccgt	ccataccctt	atccgacggg	ttacaagaca
acggccgcaac	ccggccacgc	ccggccggca	ggccaggagg	gtatcccg	gctgtggat
acagtcttca	ccgtcgtt	gagggttact	aaatccggaa	ctagtgctt	tcgggttgc
gtgcgtatgt	atgttgcact	gttgcgtat	atctttgggt	ttgtatcc	tccttagacag
ctggcagact	tttgcgtat	tttgcgtat	tttgcgtat	tttgcgtat	tttgcgtat
cagggtacca	gaaaggattt	gagttgtgt	gatgttatt	tgccaggat	gaaagcgc
gttaatggag	cggtgtcaa	attttggatt	ggagagacg	tggcgttgc	ggatatgc
atagtttgc	ctgttgc	gggtatgt	agtgcttgc	tggcgttgc	ggatatgc

<210> 4  
<211> 26

<211> 3  
<212> 5

<212> ADN  
<213> Tri

**<215>** **Trình** **cụ** **mua** **tặng**

<223>

<400> 4

tcctcc

<210> 5

5

<211> 30  
 <212> ADN  
 <213> Trình tự nhân tạo  
 <220>  
 <223> Mô tả trình tự nhân tạo: Đoạn mồi.  
 <400> 5  
 cgcttcgtcg acccctcagg cactctcaca 30  
 <210> 6  
 <211> 32  
 <212> ADN  
 <213> Trình tự nhân tạo  
 <220>  
 <223> Mô tả trình tự nhân tạo: Đoạn mồi.  
 <400> 6  
 atgctcggga gctttggatt tcctacgtct tc 32  
 <210> 7  
 <211> 33  
 <212> ADN  
 <213> Trình tự nhân tạo  
 <220>  
 <223> Mô tả trình tự nhân tạo: Đoạn mồi.  
 <400> 7  
 atgcatcatgt cgagagtgtt gtgtgggtca acg 33  
 <210> 8  
 <211> 33  
 <212> ADN  
 <213> Trình tự nhân tạo  
 <220>  
 <223> Mô tả trình tự nhân tạo: Đoạn mồi.  
 <400> 8  
 atggtcgacg aagcgtaaaca ggataggccta gac 33  
 <210> 9  
 <211> 33  
 <212> ADN  
 <213> Trình tự nhân tạo  
 <220>  
 <223> Mô tả trình tự nhân tạo: Đoạn mồi.  
 <400> 9  
 atgcccggaga gtaaccatt cccgggtctc tag 33  
 <210> 10  
 <211> 30  
 <212> ADN  
 <213> Trình tự nhân tạo  
 <220>  
 <223> Mô tả trình tự nhân tạo: Đoạn mồi.  
 <400> 10  
 atggcttagca gatctcgccg cagggttgac 30  
 <210> 11  
 <211> 40  
 <212> ADN  
 <213> Trình tự nhân tạo  
 <220>  
 <223> Mô tả trình tự nhân tạo: Đoạn mồi.  
 <400> 11  
 atggtcgacc ccgggtaact tggaggacgg aagaaaagag 40  
 <210> 12  
 <211> 529  
 <212> PRT  
 <213> *Acremonium cellulolyticus*  
 <220>  
 <223> *Xenlobiohydrolazal*  
 <400> 12  
 Met Ser Ala Leu Asn Ser Phe Asn Met Tyr Lys Ser Ala Leu Ile Leu  
 1 5 10 15  
 Gly Ser Leu Leu Ala Thr Ala Gly Ala Gln Gln Ile Gly Thr Tyr Thr  
 20 25 30  
 Ala Glu Thr His Pro Ser Leu Ser Trp Ser Thr Cys Lys Ser Gly Gly  
 35 40 45  
 Ser Cys Thr Thr Asn Ser Gly Ala Ile Thr Leu Asp Ala Asn Trp Arg  
 50 55 60  
 Trp Val His Gly Val Asn Thr Ser Thr Asn Cys Tyr Thr Gly Asn Thr  
 65 70 75 80  
 Trp Asn Ser Ala Ile Cys Asp Thr Asp Ala Ser Cys Ala Gln Asp Cys  
 85 90 95  
 Ala Leu Asp Gly Ala Asp Tyr Ser Gly Thr Tyr Gly Ile Thr Thr Ser  
 100 105 110  
 Gly Asn Ser Leu Arg Leu Asn Phe Val Thr Gly Ser Asn Val Gly Ser  
 115 120 125

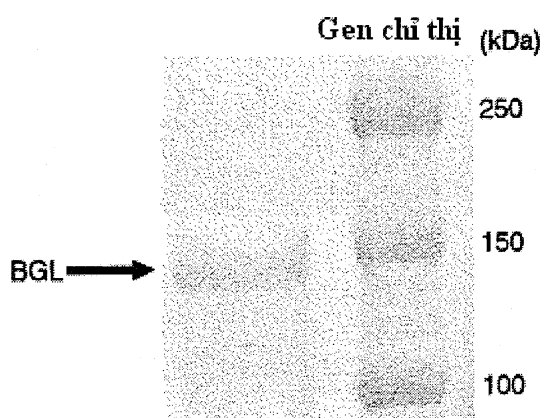
Arg Thr Tyr Leu Met Ala Asp Asn Thr His Tyr Gln Ile Phe Asp Leu  
 130 135 140  
 Leu Asn Gln Glu Phe Thr Val Asp Val Ser His Leu Pro Cys  
 145 150 155 160  
 Gly Leu Asn Gly Ala Leu Tyr Phe Val Thr Met Asp Ala Asp Gly Gly  
 165 170 175  
 Val Ser Lys Tyr Pro Asn Asn Lys Ala Gly Ala Gln Tyr Gly Val Gly  
 180 185 190  
 Tyr Cys Asp Ser Gln Cys Pro Arg Asp Leu Lys Phe Ile Ala Gly Gln  
 195 200 205  
 Ala Asn Val Glu Gly Trp Thr Pro Ser Ser Asn Asn Ala Asn Thr Gly  
 210 215 220  
 Ile Gly Asn His Gly Ala Cys Cys Ala Glu Leu Asp Ile Trp Glu Ala  
 225 230 235 240  
 Asn Ser Ile Ser Glu Ala Leu Thr Pro His Pro Cys Asp Thr Pro Gly  
 245 250 255  
 Leu Ser Val Cys Thr Thr Asp Ala Cys Gly Gly Thr Tyr Ser Ser Asp  
 260 265 270  
 Arg Tyr Ala Gly Thr Cys Asp Pro Asp Gly Cys Asp Phe Asn Pro Tyr  
 275 280 285  
 Arg Leu Gly Val Thr Asp Phe Tyr Gly Ser Gly Lys Thr Val Asp Thr  
 290 295 300  
 Thr Lys Pro Phe Thr Val Val Thr Gln Phe Val Thr Asn Asp Gly Thr  
 305 310 315 320  
 Ser Thr Gly Ser Leu Ser Glu Ile Arg Arg Tyr Tyr Val Gln Asn Gly  
 325 330 335  
 Val Val Ile Pro Gln Pro Ser Ser Lys Ile Ser Gly Ile Ser Gly Asn  
 340 345 350  
 Val Ile Asn Ser Asp Tyr Cys Ala Ala Glu Ile Ser Thr Phe Gly Gly  
 355 360 365  
 Thr Ala Ser Phe Ser Lys His Gly Gly Leu Thr Asn Met Ala Ala Gly  
 370 375 380  
 Met Glu Ala Gly Met Val Leu Val Met Ser Leu Trp Asp Asp Tyr Ala  
 385 390 395 400  
 Val Asn Met Leu Trp Leu Asp Ser Thr Tyr Pro Thr Asn Ala Thr Gly  
 405 410 415  
 Thr Pro Gly Ala Ala Arg Gly Thr Cys Ala Thr Thr Ser Gly Asp Pro  
 420 425 430  
 Lys Thr Val Glu Ala Gln Ser Gly Ser Ser Tyr Val Thr Phe Ser Asp  
 435 440 445  
 Ile Arg Val Gly Pro Phe Asn Ser Thr Phe Ser Gly Gly Ser Ser Thr  
 450 455 460  
 Gly Gly Ser Thr Thr Ala Ser Arg Thr Thr Thr Ser Ala  
 465 470 475 480  
 Ser Ser Thr Ser Thr Ser Ser Thr Ser Thr Gly Thr Gly Val Ala Gly  
 485 490 495  
 His Trp Gly Gln Cys Gly Gly Gln Gly Trp Thr Gly Pro Thr Thr Cys  
 500 505 510  
 Val Ser Gly Thr Thr Cys Thr Val Val Asn Pro Tyr Tyr Ser Gln Cys  
 515 520 525  
 Leu  
 <210> 13  
 <211> 226  
 <212> PRT  
 <213> Acremonium cellulolyticus  
 <220>  
 <223> Endogluconaza  
 <400> 13  
 Met Lys Leu Thr Phe Leu Leu Asn Leu Ala Val Ala Ala Ser Ala Gln  
 1 5 10 15  
 Gln Ser Leu Cys Ser Gln Tyr Ser Ser Tyr Thr Ser Gly Gln Tyr Ser  
 20 25 30  
 Val Asn Asn Leu Trp Gly Glu Ser Ser Gly Ser Gly Ser Gln Cys  
 35 40 45  
 Thr Tyr Val Asn Ser Ile Ser Ser Ser Gly Val Ser Trp Ser Thr Thr  
 50 55 60  
 Trp Asn Trp Ser Gly Gly Ser Thr Ser Val Lys Ser Tyr Ala Asn Ser  
 65 70 75 80  
 Gln Leu Ser Gly Leu Thr Lys Lys Leu Val Ser Asn Leu Gln Ser Ile  
 85 90 95  
 Pro Thr Ser Val Gln Trp Ser Tyr Ser Asn Thr Asn Ile Val Ala Asp  
 100 105 110  
 Val Ser Tyr Asp Leu Phe Thr Ala Ala Asp Ile Asn His Val Thr Tyr  
 115 120 125  
 Ser Gly Asp Tyr Glu Leu Met Ile Trp Leu Gly Lys Tyr Gly Gly Ala  
 130 135 140  
 Gln Pro Leu Gly Ser Gln Ile Gly Thr Ala Asn Val Gly Gly Ala Thr  
 145 150 155 160

# 23430

Trp Gln Leu Trp Tyr Gly Val Asn Gly Ser Gln Lys Thr Tyr Ser Phe  
165 170 175  
Val Ala Ser Ser Gln Thr Thr Ser Trp Asn Gly Asp Ile Leu Gln Phe  
180 185 190  
Phe Lys Tyr Leu Gln Ser Asn Gln Gly Phe Pro Ala Ser Ser Gln Tyr  
195 200 205  
Leu Ile Asp Leu Gln Phe Gly Thr Glu Pro Phe Thr Gly Ser Gln Thr  
210 215 220  
Thr Leu  
225

**YÊU CẦU BẢO HỘ**

1. Enzym  $\beta$ -glucosidaza chứa miền xúc tác của  $\beta$ -glucosidaza bao gồm polypeptit chứa trình tự axit amin như nêu trong SEQ ID NO.1.
2. Enzym  $\beta$ -glucosidaza theo điểm 1, trong đó enzym này có hoạt tính  $\beta$ -glucosidaza ở độ pH nằm trong khoảng từ 3,0 đến 5,5 và nhiệt độ nằm trong khoảng từ 30°C đến 60°C và sử dụng cơ chất là p-nitrophenyl  $\beta$ -D-glucopyranosit.
3. Polynucleotit chứa vùng mã hóa miền xúc tác của  $\beta$ -glucosidaza bao gồm trình tự bazô mã hóa polypeptit chứa trình tự axit amin như nêu trong SEQ ID NO.1.
4. Vector biểu hiện, trong đó vector này chứa polynucleotit theo điểm 3, và có khả năng biểu hiện polypeptit có hoạt tính  $\beta$ -glucosidaza ở tế bào vật chủ.
5. Thẻ biến nạp, trong đó thẻ biến nạp này chứa vector biểu hiện theo điểm 4.
6. Thẻ biến nạp theo điểm 5, trong đó thẻ biến nạp này là sinh vật nhân thật.
7. Thẻ biến nạp theo điểm 5, trong đó thẻ biến nạp này là nấm sợi.
8. Phương pháp sản xuất enzym  $\beta$ -glucosidaza theo điểm 1 hoặc 2 bao gồm bước tạo ra polypeptit có hoạt tính  $\beta$ -glucosidaza trong thẻ biến nạp theo điểm bất kỳ trong số các điểm từ 5 đến 7.
9. Hỗn hợp xenlulaza chứa enzym  $\beta$ -glucosidaza theo điểm 1 hoặc 2.
10. Phương pháp sản xuất sản phẩm phân giải xenluloza bao gồm bước tạo ra sản phẩm phân giải xenluloza bằng cách cho nguyên liệu chứa xenluloza tiếp xúc với hỗn hợp xenlulaza theo điểm 9.
11. Phương pháp theo điểm 10, trong đó phương pháp này còn bao gồm bước cho nguyên liệu chứa xenluloza tiếp xúc với ít nhất một loại hemixenlulaza.



**Fig.1**

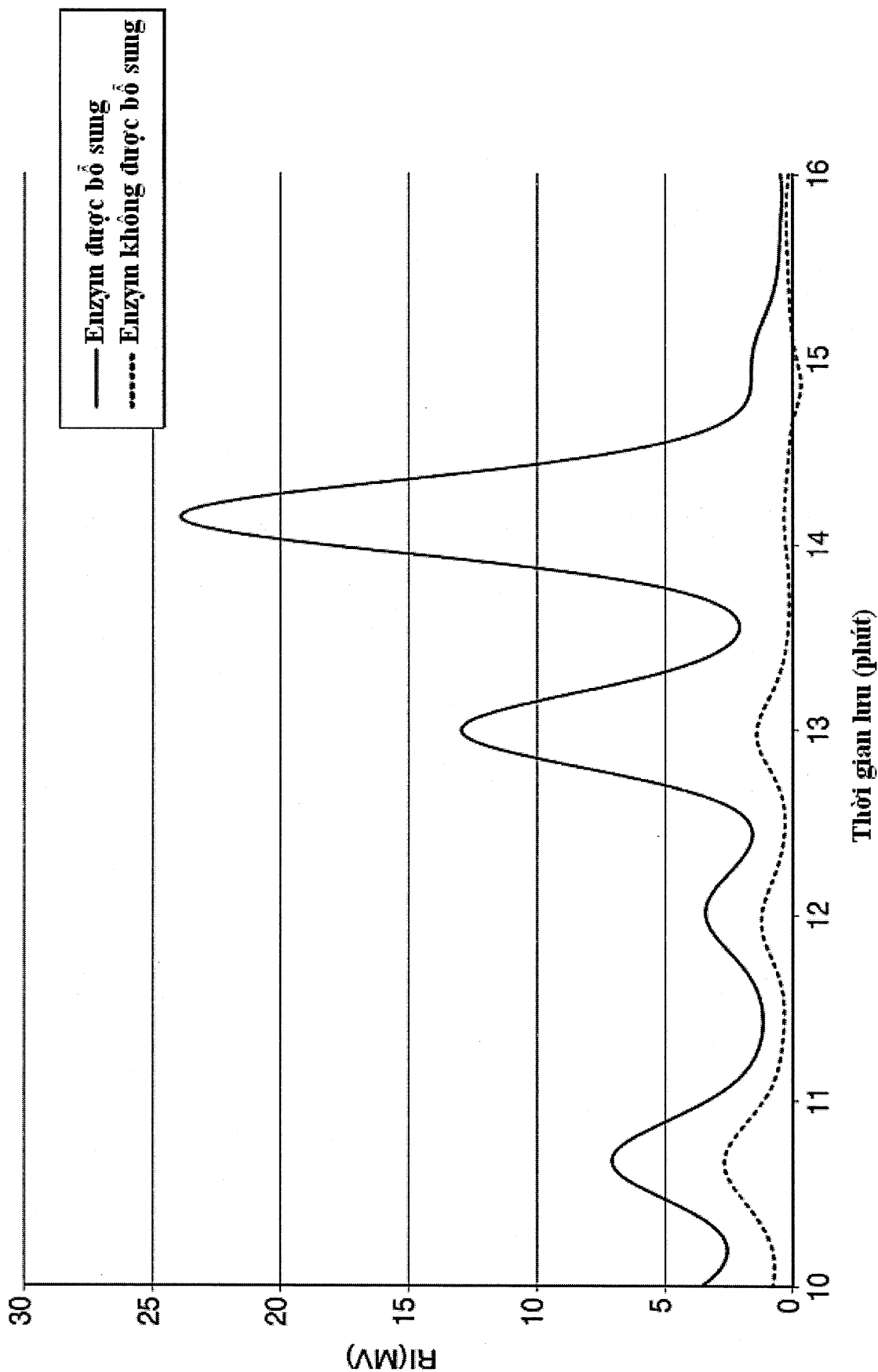
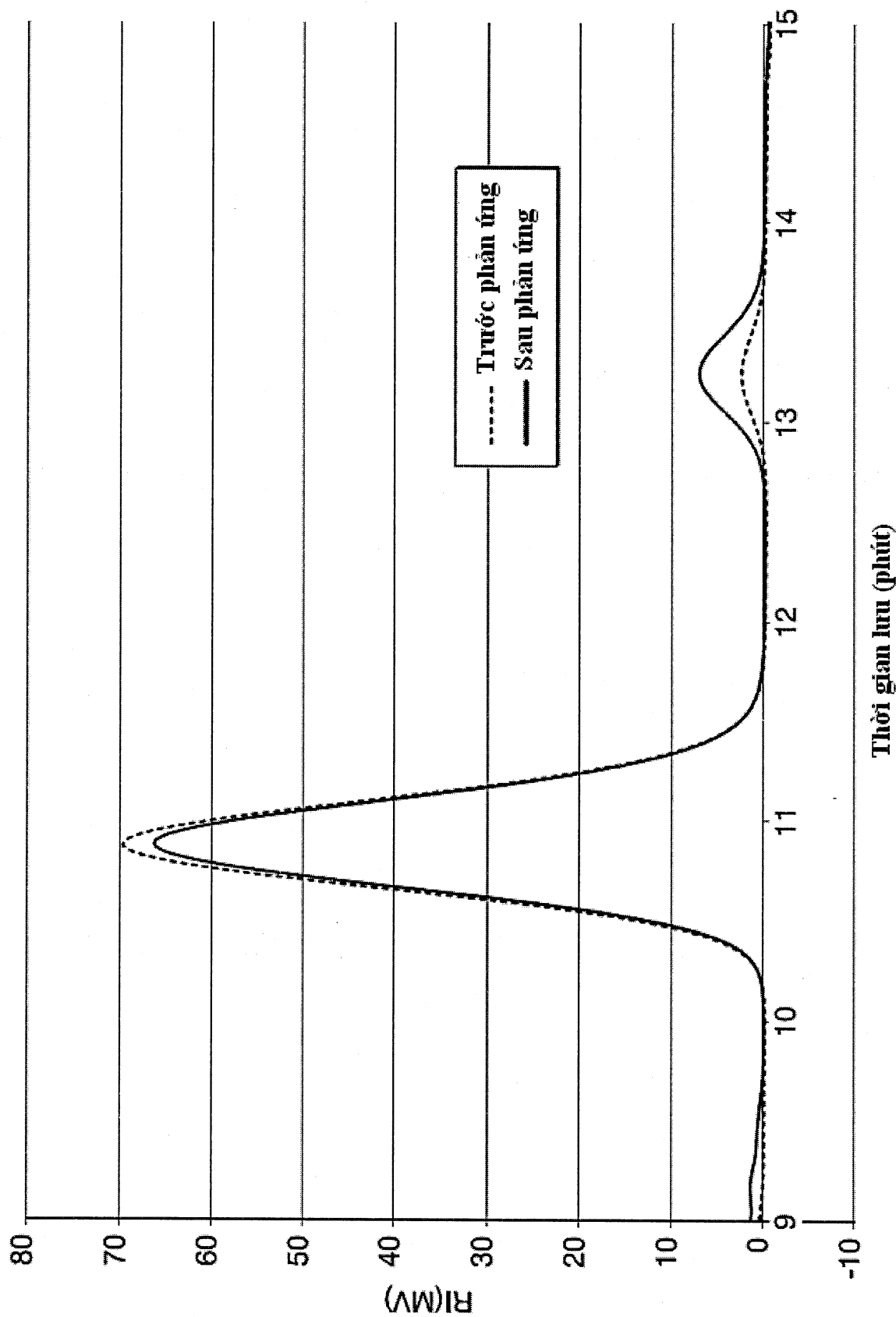


Fig.2



Thời gian lưu (phút)

Fig.3

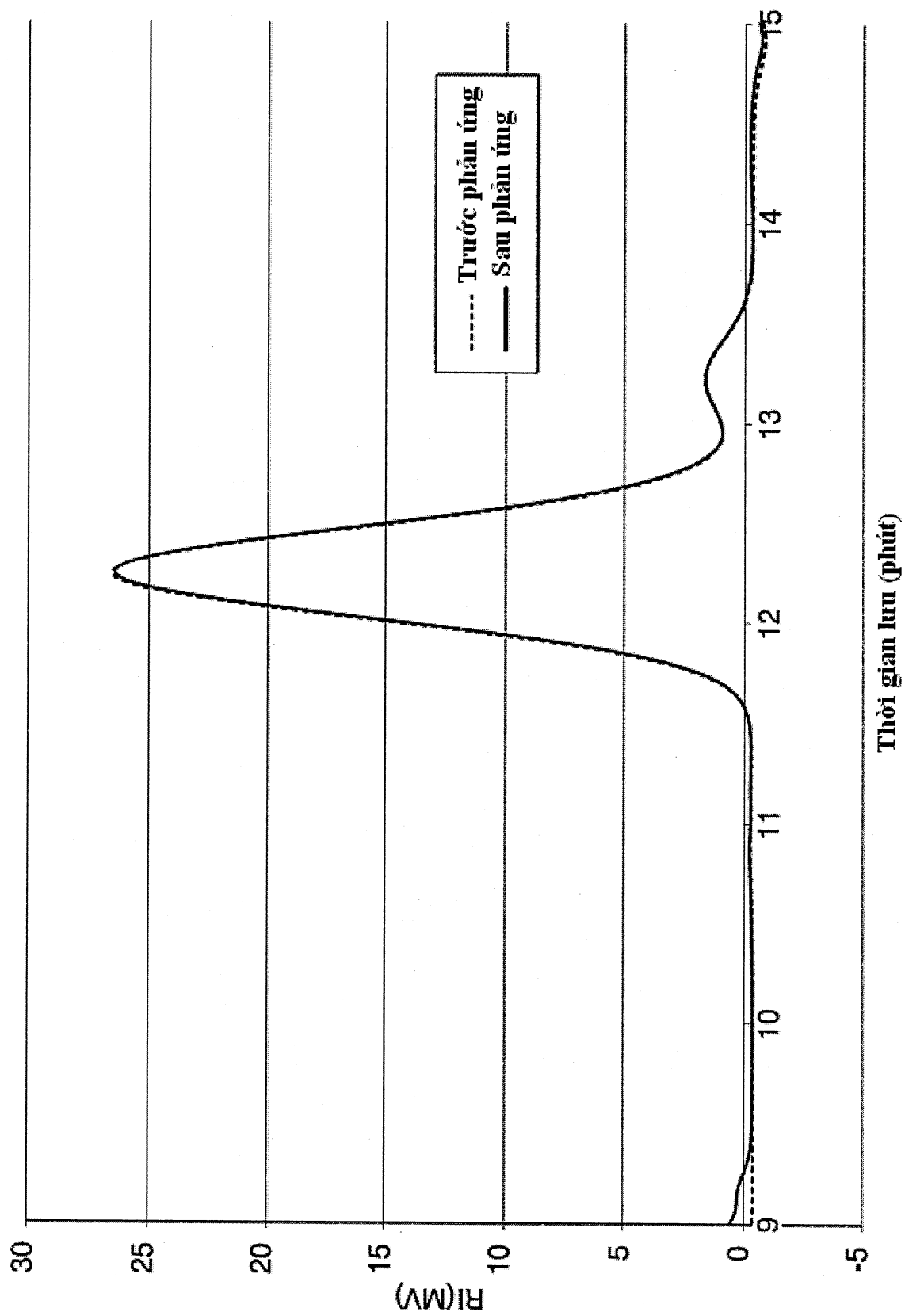


Fig.4